

### «Геодезическое обеспечение кадастровых работ»

### «Вебинар № 3»

Москва, 2019

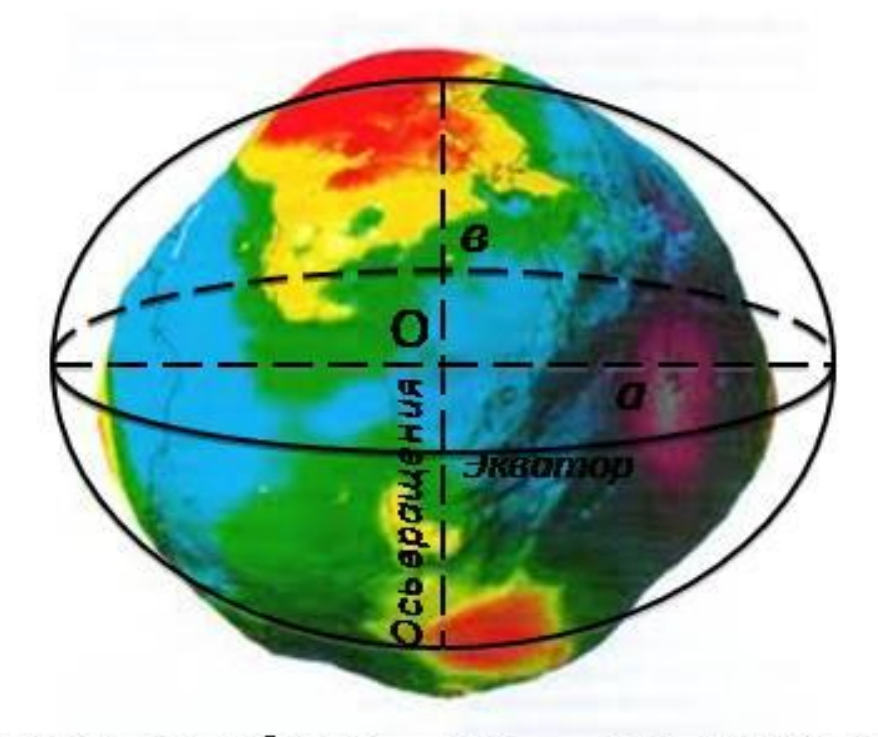
### Расписание вебинара

1 часть	Наземны	е геодезические работы			
18:30	18.45	Краткое повторение предыдущего материала.			
16.30	10.43	краткое повторение предыдущего материала.			
18.45	19.40	Наземные геодезические работы			
19:40	19.50	Перерыв			
	**				
2 часть	насть Наземные геодезические работы.				
19:50	20:45	Наземные геодезические работы			
20.45	21.00	Ответы на вопросы			



### Краткое повторение предыдущего материала

#### Референц-эллипсоид Красовского



#### Параметры референц-эллипсоида Красовского

$$a = 6 378 245 \text{ m};$$

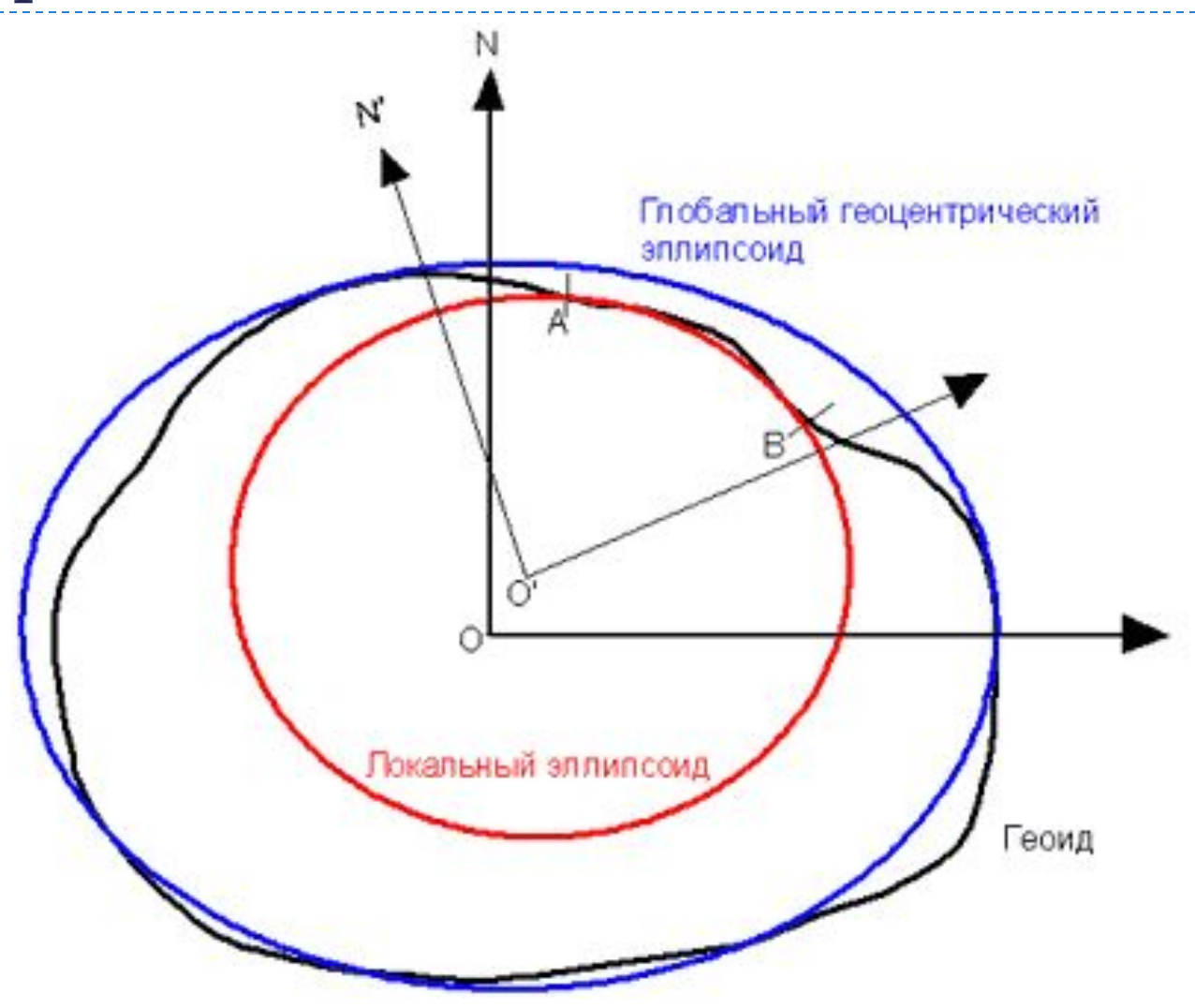
$$b = 6 356 863 \text{ m};$$

$$\alpha = (a-b)/a = \frac{1}{298,3}$$



## Влияние СК на точность геодезических работ

### Различные параметры общеземной и государственной СК



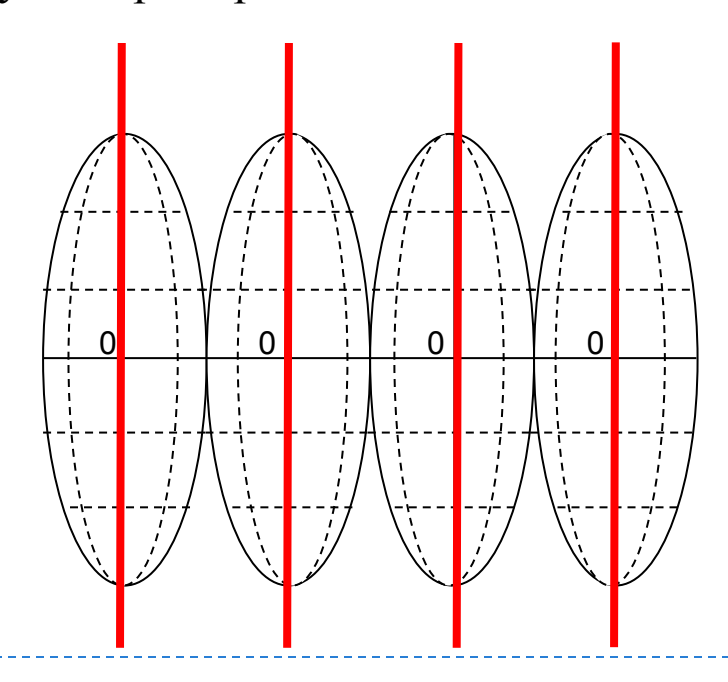
### Виды геодезических сетей и систем координат

По геометрии и видам измерений Плановые (Х,Ү) Высотные (нивелирные) (Н) Пространственные (X,Y,H)

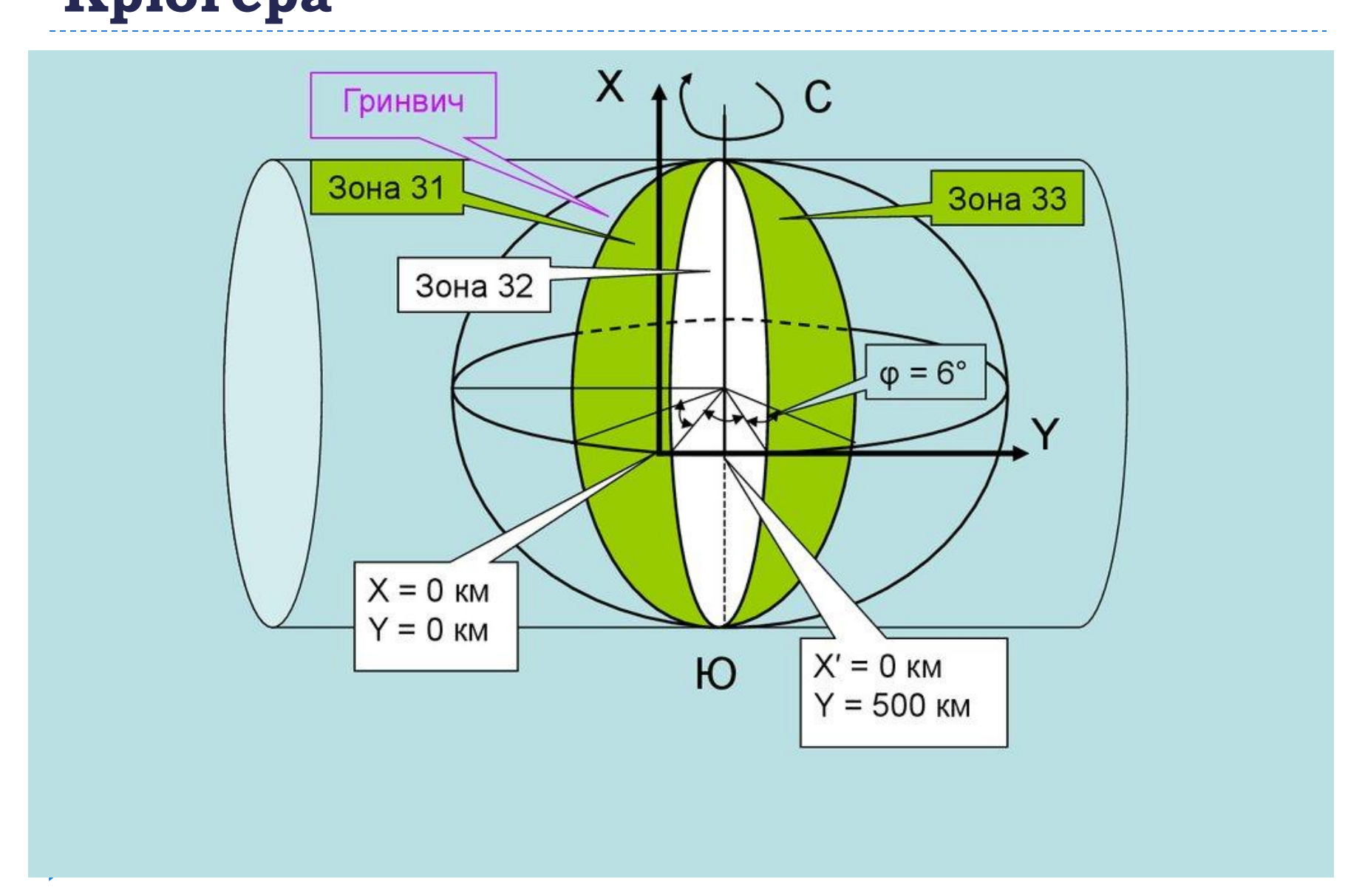


### Плоская прямоугольная система координат Г.К.

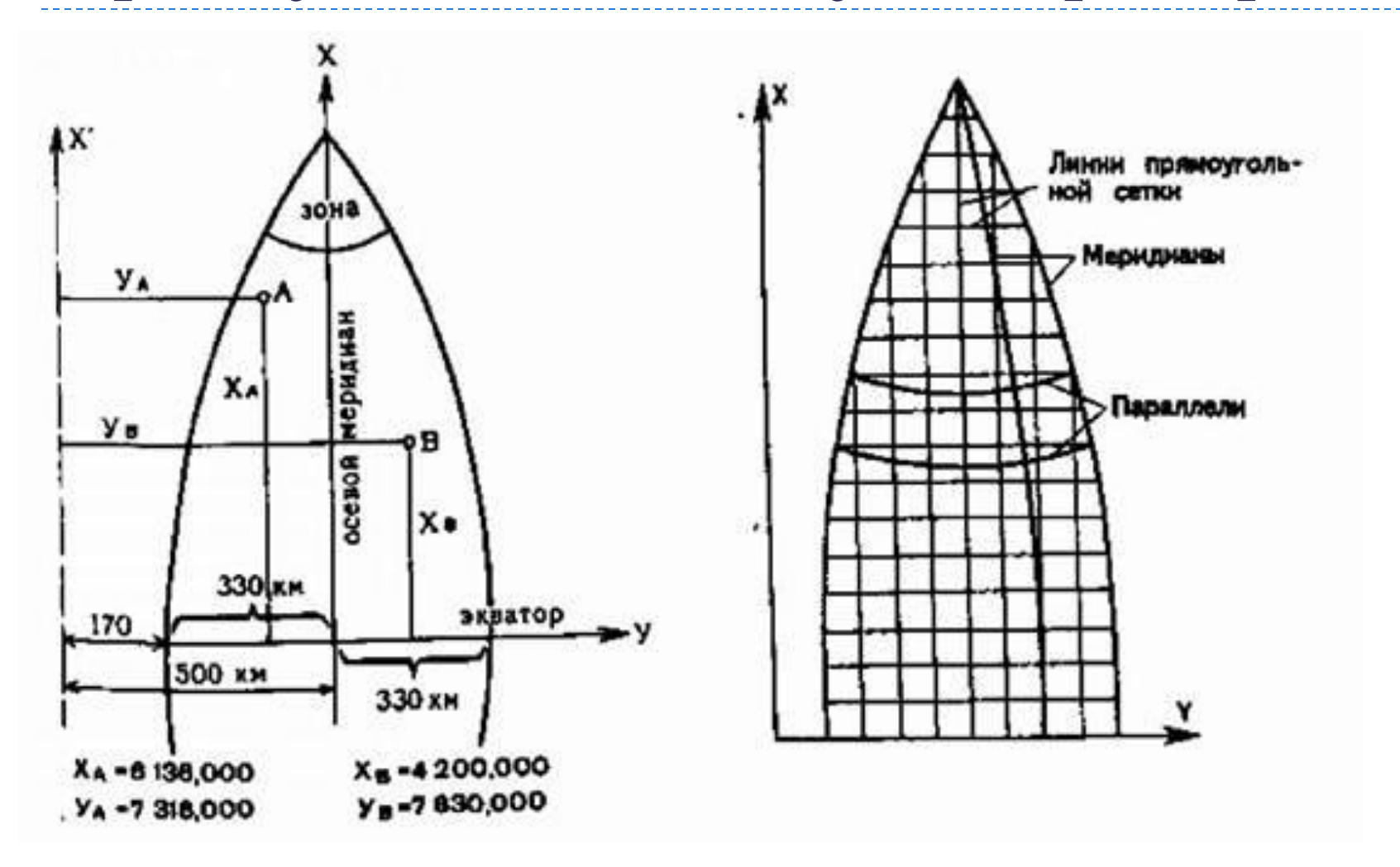
Для изображения значительных частей земной поверхности на плоскость принимают специальные проекции, дающие возможность переносить на плоскость положение точек земной поверхности по математическим законам и определять их в плоской системе координат X, У. В нашей стране за основу системы координат принята проекция, предложенная немецкими учеными Гауссом и Крюгером и получившая, наименование Гаусса-Крюгера.



картографическая **проекция Гаусса-Крюгера** 

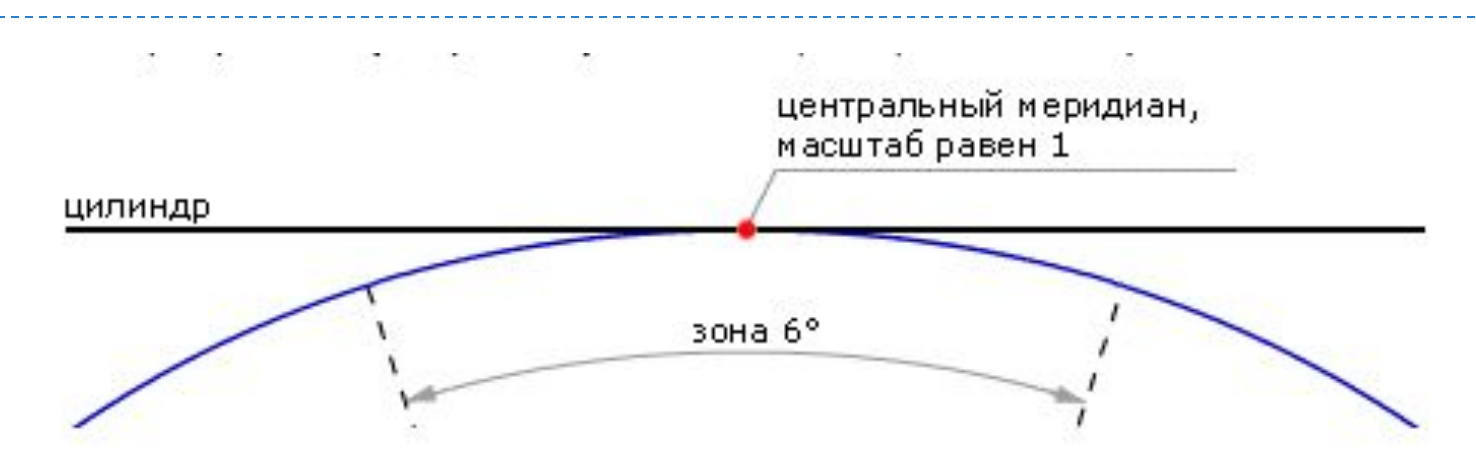


### Прямоугольная СК Гаусса-Крюгера

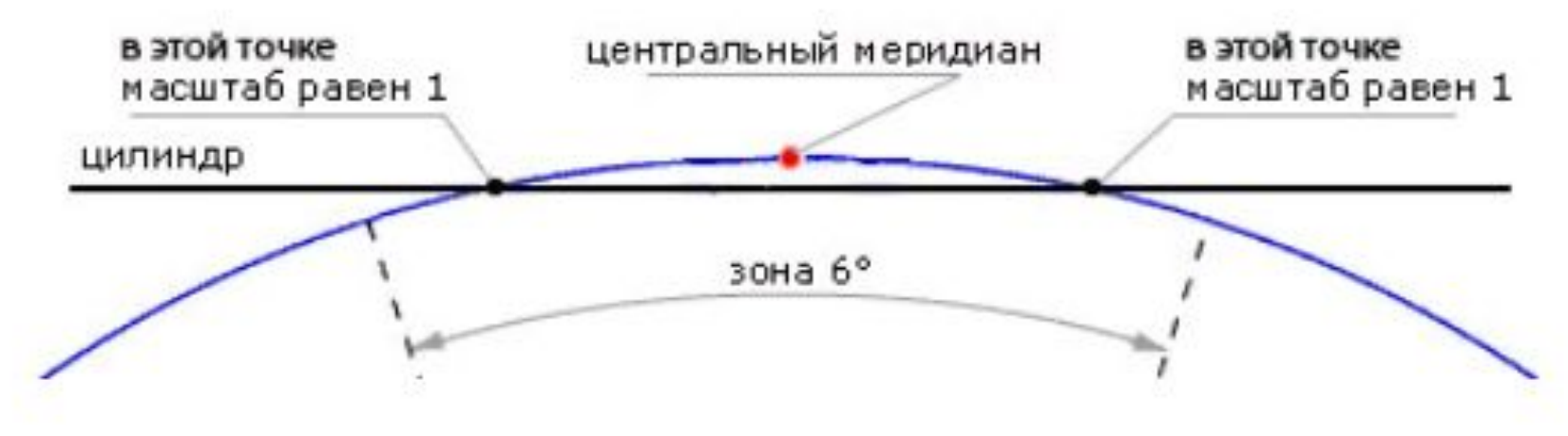




В проекции **Гаусса-Крюгера** цилиндр касается эллипсоида по центральному меридиану, масштаб (scale) вдоль него равен I



**UTM** — это проекция на секущий цилиндр, масштаб равен единице вдоль двух секущих линий, отстоящих от центрального меридиана на 180 000 м.



#### Формула искажения длин линий в Г-К

$$S_r = S + S \frac{Y^2}{2R^2}$$

$$\Delta S = S \frac{Y^2}{2R^2}.$$

S — горизонтальное проложение линии местности; Y — ордината середины этой линии, т.е. расстояние от осевого меридиана зоны; R — средний радиус кривизны сфероида  $\square$  6370км.

$$\frac{\Delta S}{S} \approx \frac{1}{2000}$$
  $\frac{\Delta S}{S} \approx \frac{1}{8000}$   $\frac{\Delta S}{S} \approx \frac{1}{32500}$  Для линии на краю  $Y = 100 \text{ км}$   $Y = 50 \text{ км}$  зоны  $Y = 200 \text{ км}$ 



### Формула искажения площадей в Г-К. Переход от карты к метности

$$P = P_{\Gamma} - P_{\Gamma} \frac{Y^{2}}{R^{2}}$$

$$\frac{Y^{2}}{R^{2}}$$

$$P_{\Gamma} = P + P * \frac{Y^{2}}{R^{2}}$$



### Масштабы длин и площадей в проекции Гаусса-Крюгера

Удаления от осевого меридиана по долготе	Масштаб линий <i>т</i>	Масштаб площадей <i>р</i>
0000'	1,00000	1,00000
0°30'	1,00002	1,00004
1°00'	1,00010	1,00020
1°30'	1,00023	1,00046
2°00'	1,00039	1,00078
2°30'	1,00063	1,00126
3°00'	1,00090	1,00180





## Референцные базовые станции

0.45 -1.00

Оценка состояния исходной сети пунктов ГГС



Статика -2,5 часа. 4 бригады геодезистов

#### Построение карты поправок.

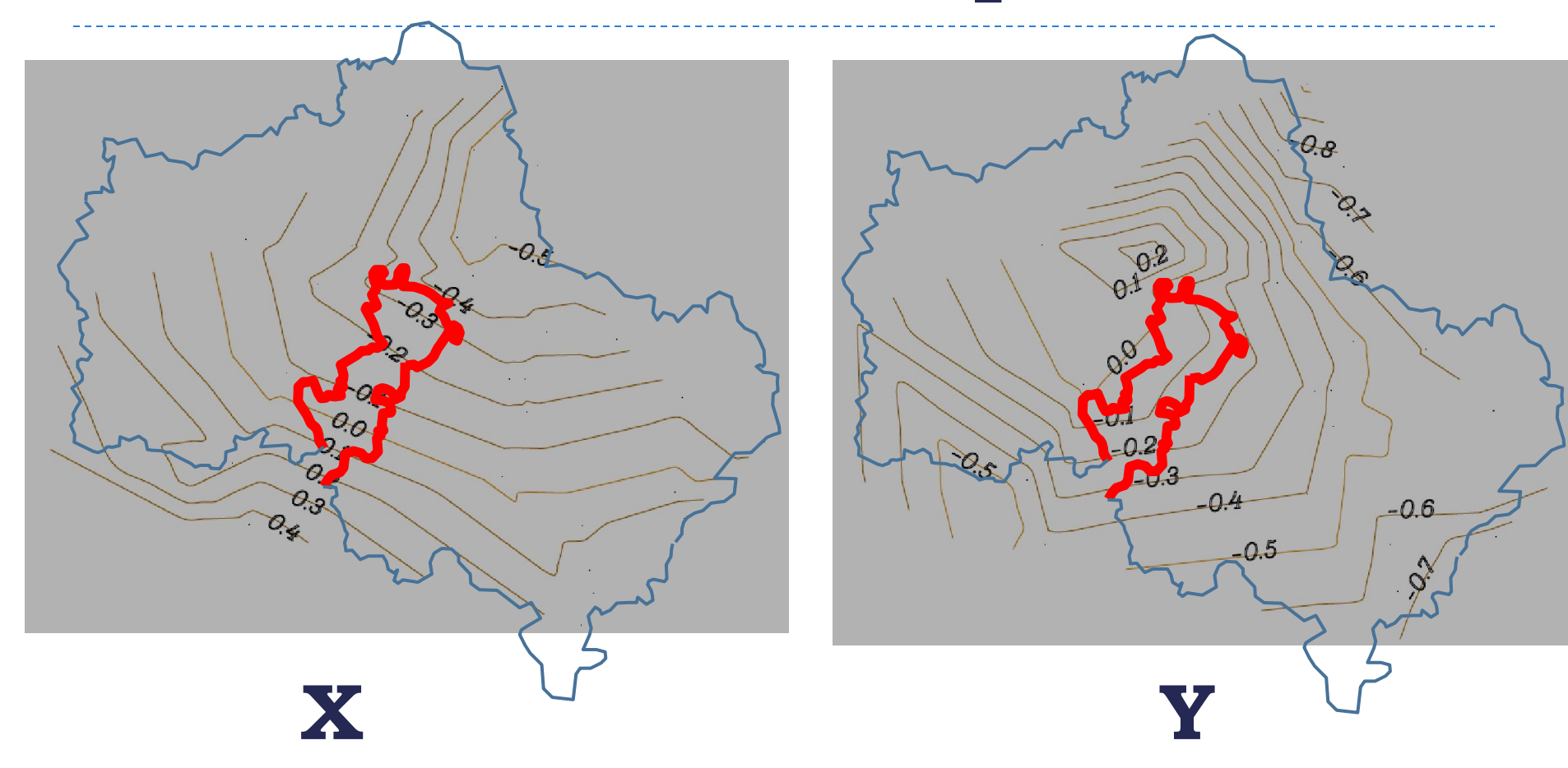
№ <u>№</u> п/п	Название пункта	ΔХ(м)	ΔΥ(м)
1	Дьяково	-0.03	-0.40
2	Донино	-0.18	-0.45
3	Ершово	-0.08	0.03
4	Коряково	0.45	-0.44
5	Кудиново	-0.26	-0.33
6	Маурино	0.19	-0.43
29	Юрцево	-0.39	-1.03
30	Ямкино	-0.37	-0.48
31	Осташкино	-0.77	-0.75

Для каждого из 35 пунктов ГГС была вычислена пара разностей (поправок): по координате X и по координате Y.

$$\square \Delta X = X_{\kappa a m a \pi o r} - X_{\kappa a m a \pi o r}$$
;

$$\square$$
  $\triangle Y = Y_{\kappa a m a \pi o r} - Y_{\mu a \delta \pi}$ .

### Изолинии поправок





### Геодезические методы в

кад





## Наземные геодезические работы

0.45 -1.00



### МИНИСТЕРСТВО ЭКОНОМИЧЕСКОГО РАЗВИТИЯ РОССИЙСКОЙ ФЕДЕРАЦИИ (МИНЭКОНОМРАЗВИТИЯ РОССИМРЕГИСТРИРОВАНО

ПРИКАЗ

Регистрационный № <u>4/17/12</u> от "08" амрима 2016.

1 марта 2016 г.

Москва

<u>№ 90</u>

Об утверждении требований к точности и методам определения координат характерных точек границ земельного участка, требований к точности и методам определения координат характерных точек контура здания, сооружения или объекта незавершенного строительства на земельном участке, а также требований к определению площади здания, сооружения и помещения

В соответствии с частью 13 статьи 22 и частью 13 статьи 24 Федерального закона от 13 июля 2015 г. № 218-ФЗ «О государственной

### Координаты характерных точек определяются следующими методами:

- I) геодезический метод (триангуляция, полигонометрия, трилатерация, прямые, обратные или комбинированные засечки и иные геодезические методы);
- 2) метод спутниковых геодезических измерений (определений);
- 3) фотограмметрический метод;
- □ 4) картометрический метод;
- 5) аналитический метод.

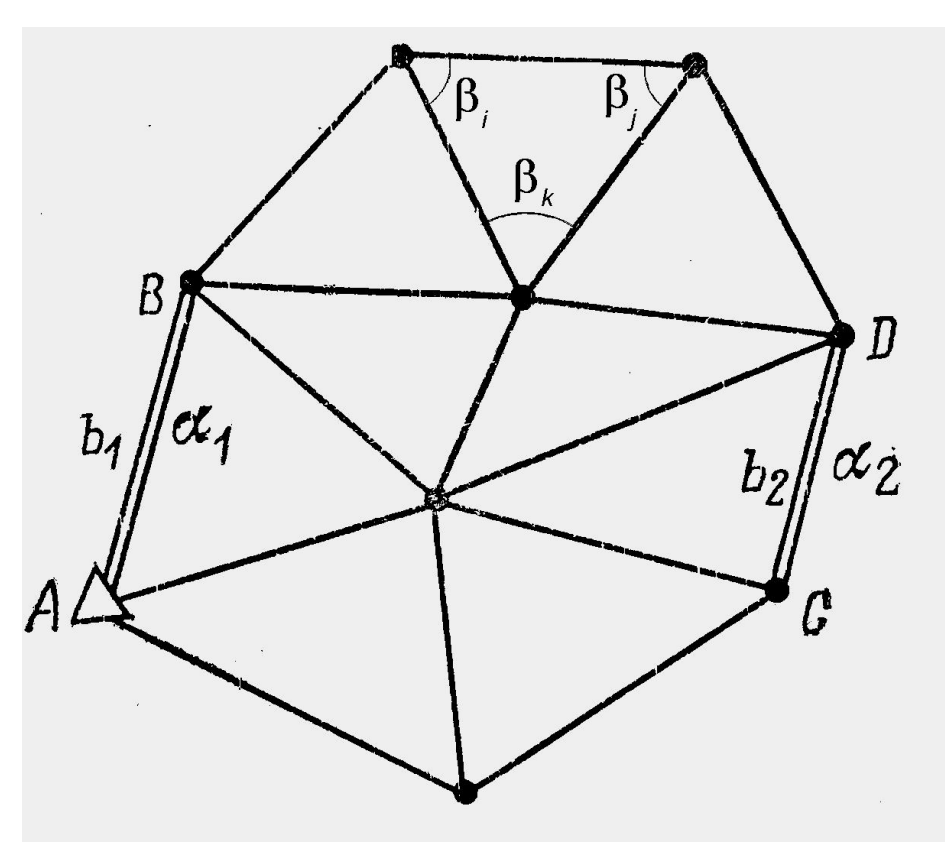
### Точность определения границ различных категорий земель

№ п/п	Категория земель и разрешенное использование земельных участков	Средняя квадратическая погрешность местоположения характерных точек, не более, метра	
1	Земельные участки, отнесенные к землям населенных пунктов	0,10	
2	Земельные участки, отнесенные к землям сельскохозяйственного назначения и предоставленные для ведения личного подсобного, дачного хозяйства, огородничества, садоводства, индивидуального гаражного или индивидуального жилищного строительства	0,20	
3	Земельные участки, отнесенные к землям сельскохозяйственного назначения, за исключением земельных участков, указанных в пункте 2	2,50	
4	Земельные участки, отнесенные к землям промышленности, энергетики, транспорта, связи, радиовещания, телевидения, информатики, землям обеспечения космической деятельности, землям обороны, безопасности и землям иного специального назначения	0,50	
5	Земельные участки, отнесенные к землям особо охраняемых территорий и объектов	2,50	
6	Земельные участки, отнесенные к землям лесного фонда, землям водного фонда и землям запаса	5,00	
7	Земельные участки, не указанные в пунктах 1 – 6	2,50	



# Обзорные сведения о ранее созданной геодезической сети. Сети Сгущения

## Методы построения геодезических сетей



#### Метод триангуляции

 $\Delta A$  - исходный пункт триангуляции;

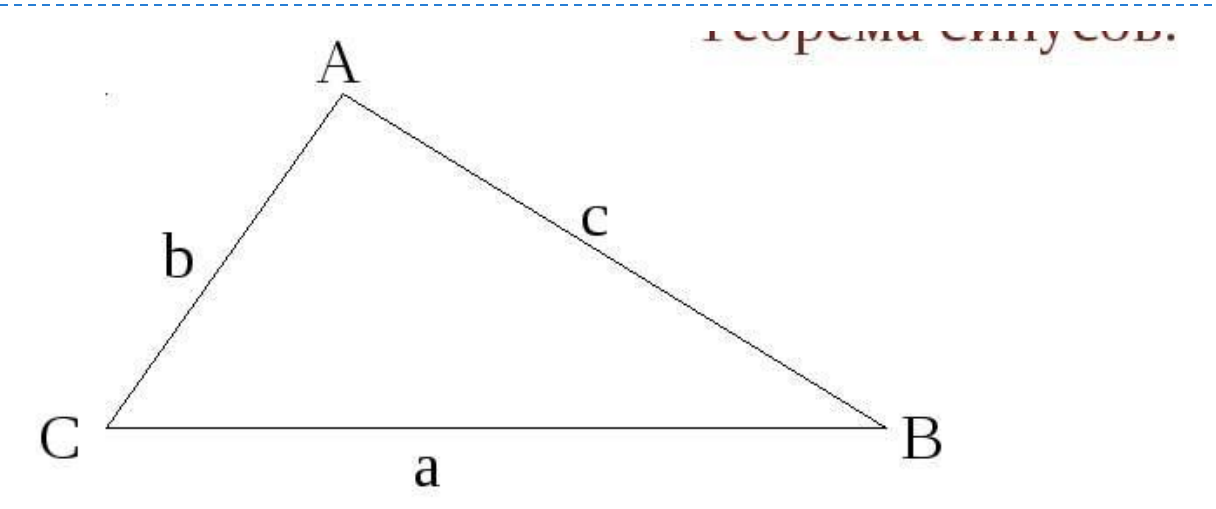
 $\alpha_1,\,\alpha_2$  - исходные дирекционные углы;

 $b_1, b_2$  - исходные базисы.

 $\beta_{1}, \beta_{j}, \beta_{k}$  - измеренные углы в треугольнике;



#### Теорема синусов

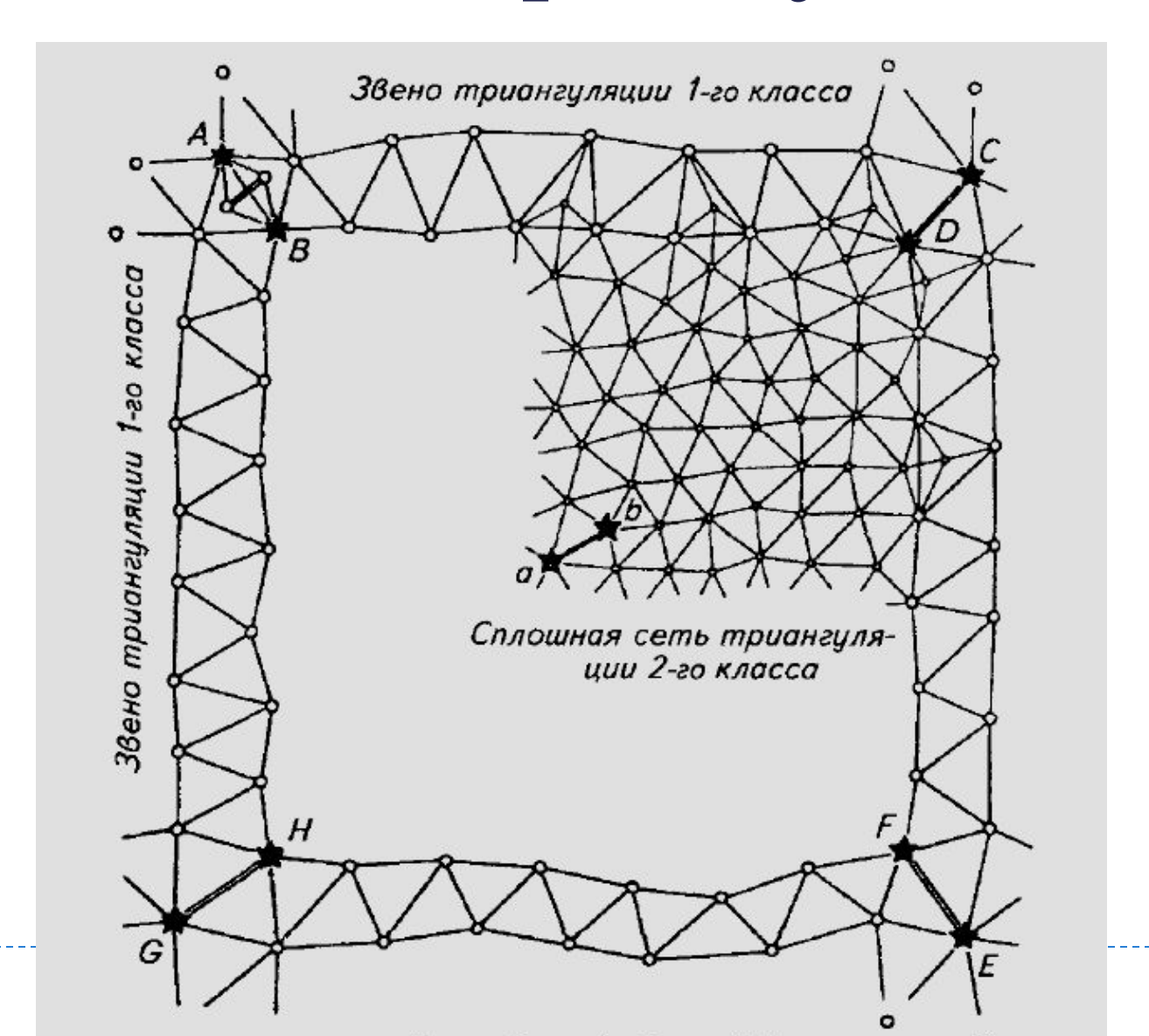


Стороны треугольника пропорциональны синусам противолежащих углов

$$\frac{a}{\sin A} = \frac{b}{\sin B} = \frac{c}{\sin C}$$



## Схема построения плановой ГГС методом триангуляции

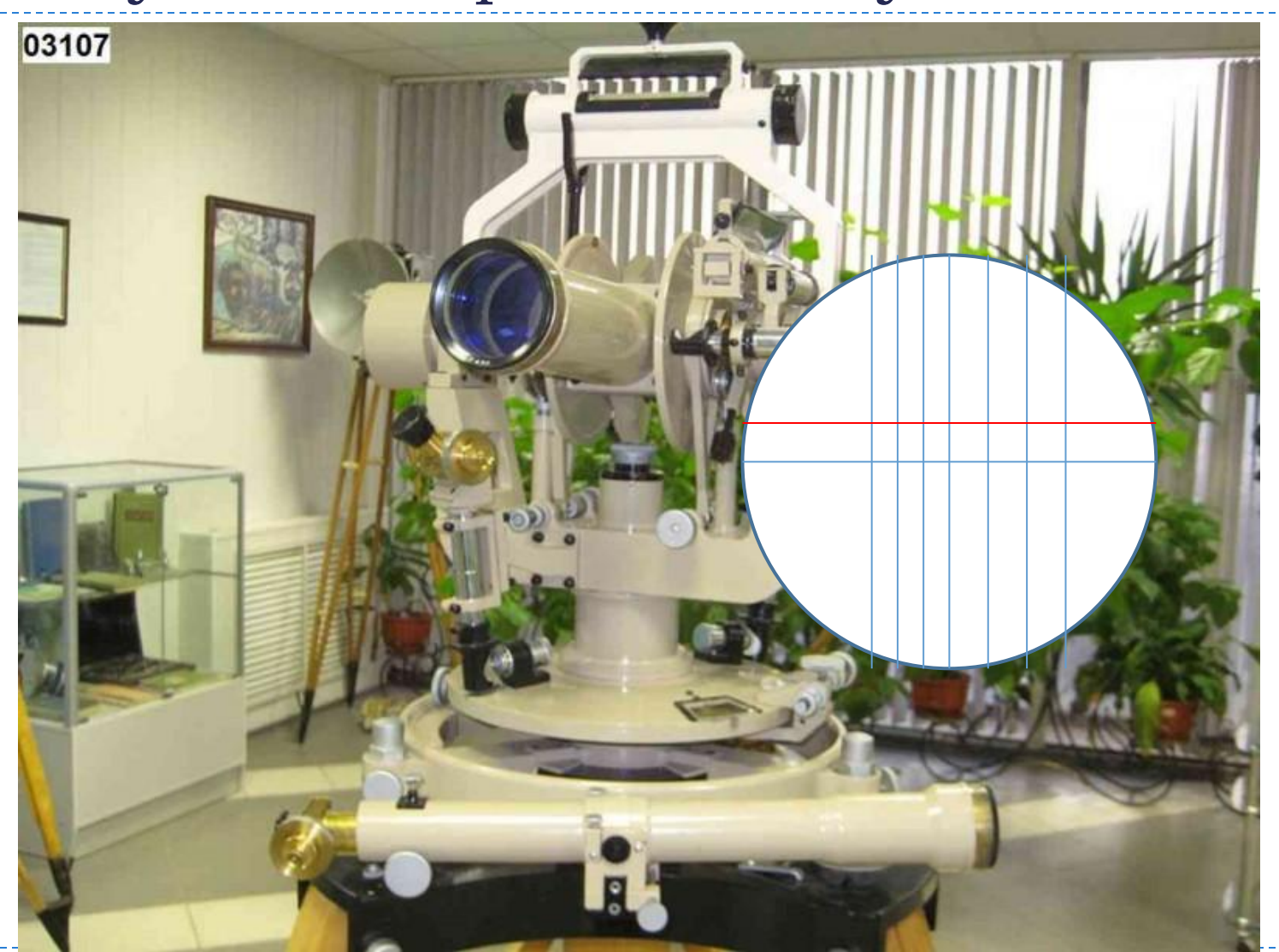


## триангуляции 1, 2, 3 и 4 классов

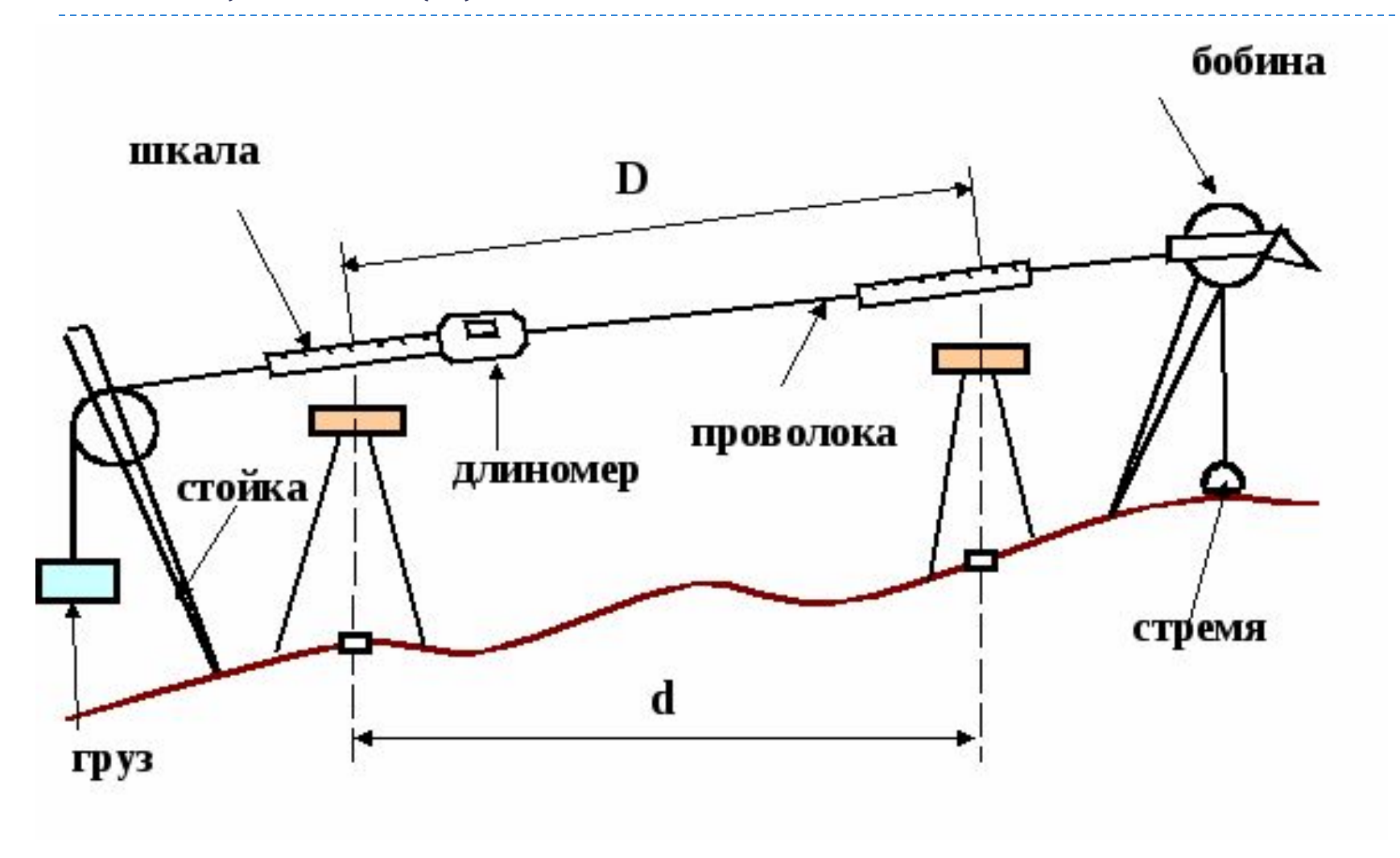
Класс	Длины сторон, км	$\mathbf{m}_{\beta}$ "	m <sub>s</sub> /S
1	20-25	0,7	1:400 000
2	7-20	1,0	1:300 000
3	5-8	1,5	1:200 000
4	2-5	2,0	1:200 000

Расположение звеньев триангуляции на территории МО Усповные знаки: эник, 17 июня 2019 Пункт Лаппаса —— Сторона триангуляции 1 класса — — - Сторона триангуляции 3 класса — - Сторона триангуляции 2 класса

### АУ 2/10. Применялся для определения азимутов и координат на пунктах Лапласа

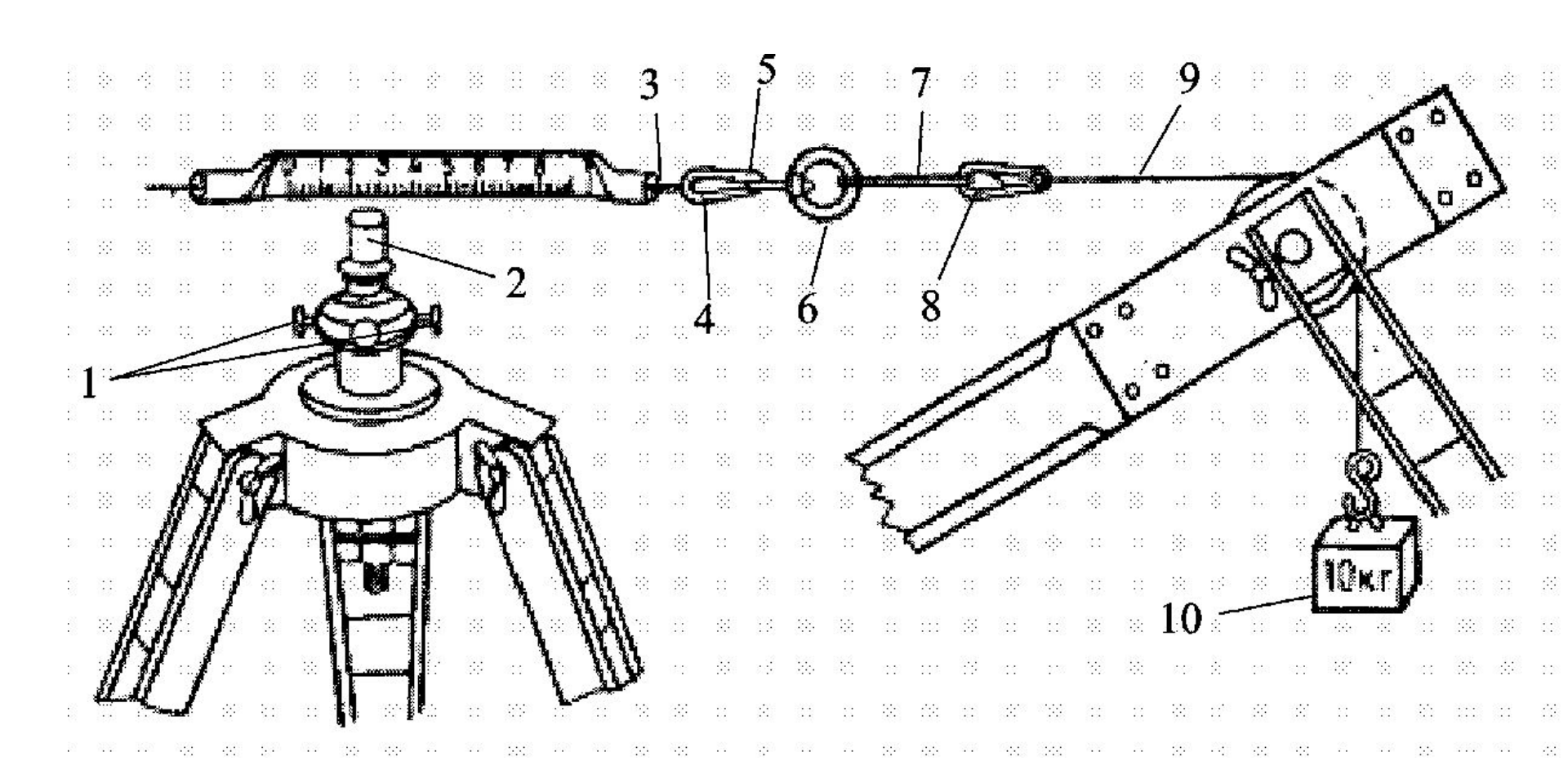


#### Общий вид БП.





#### Мерная шкала БП

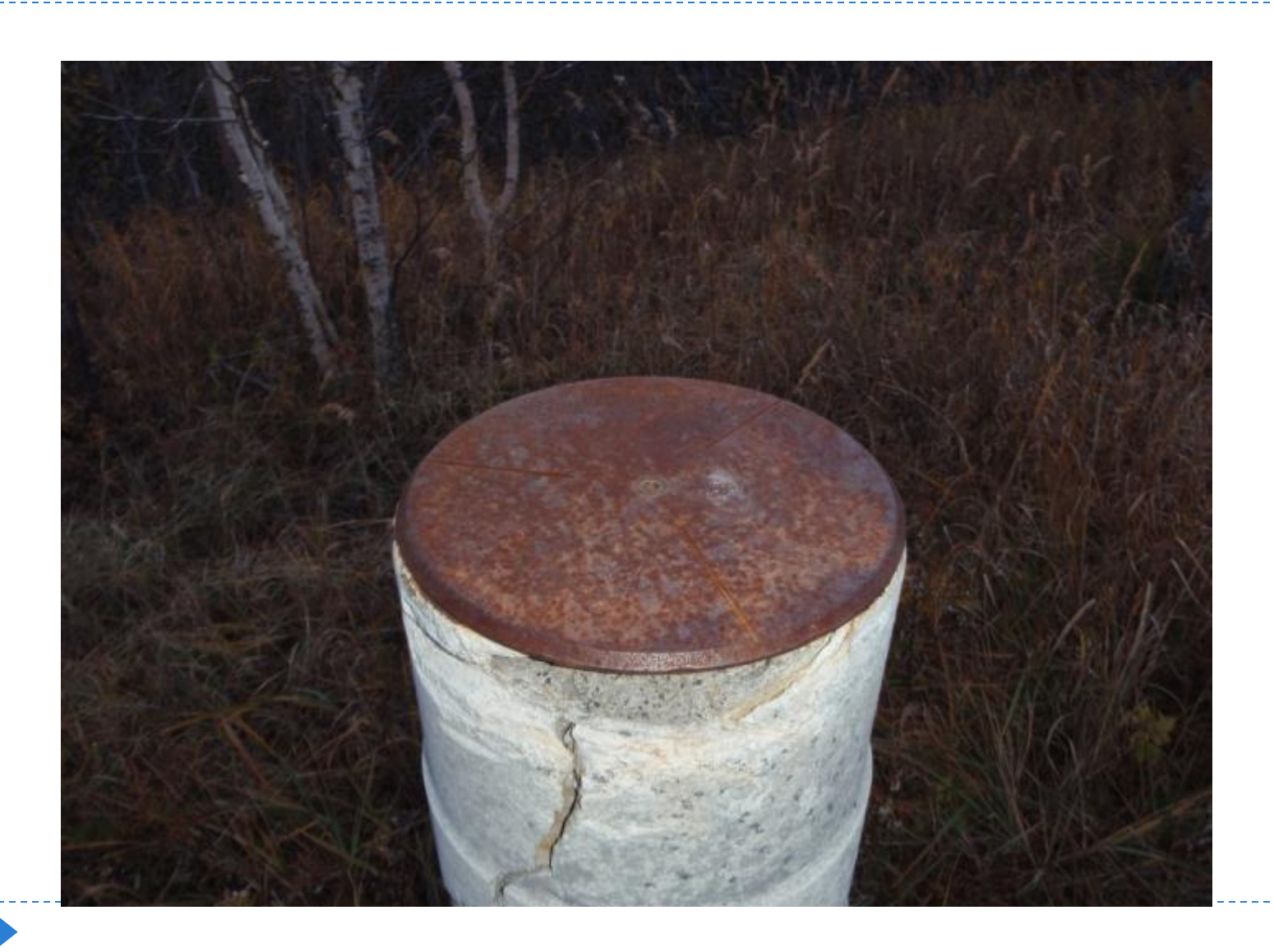




### Высокоточный теодолит Т1



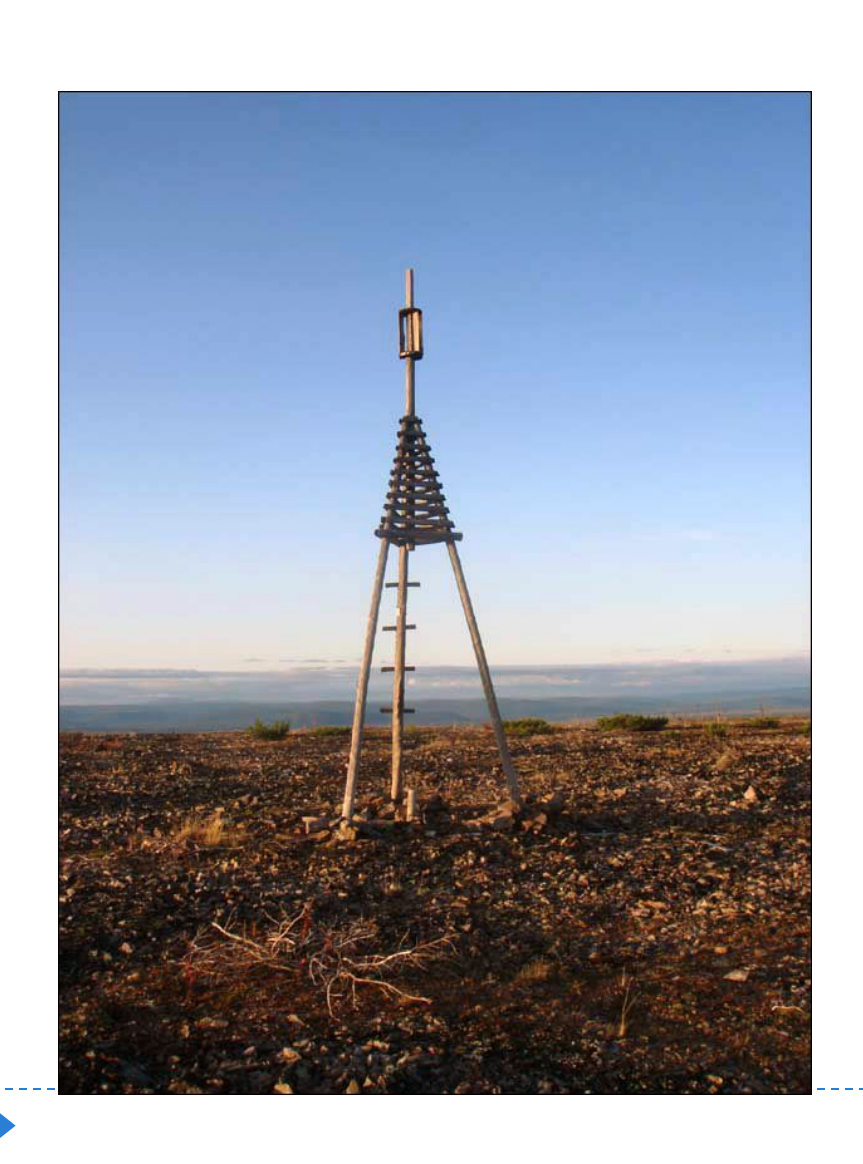
### Астрономический столб



### Закрепление пунктов геодезических сетей



### Наружные знаки





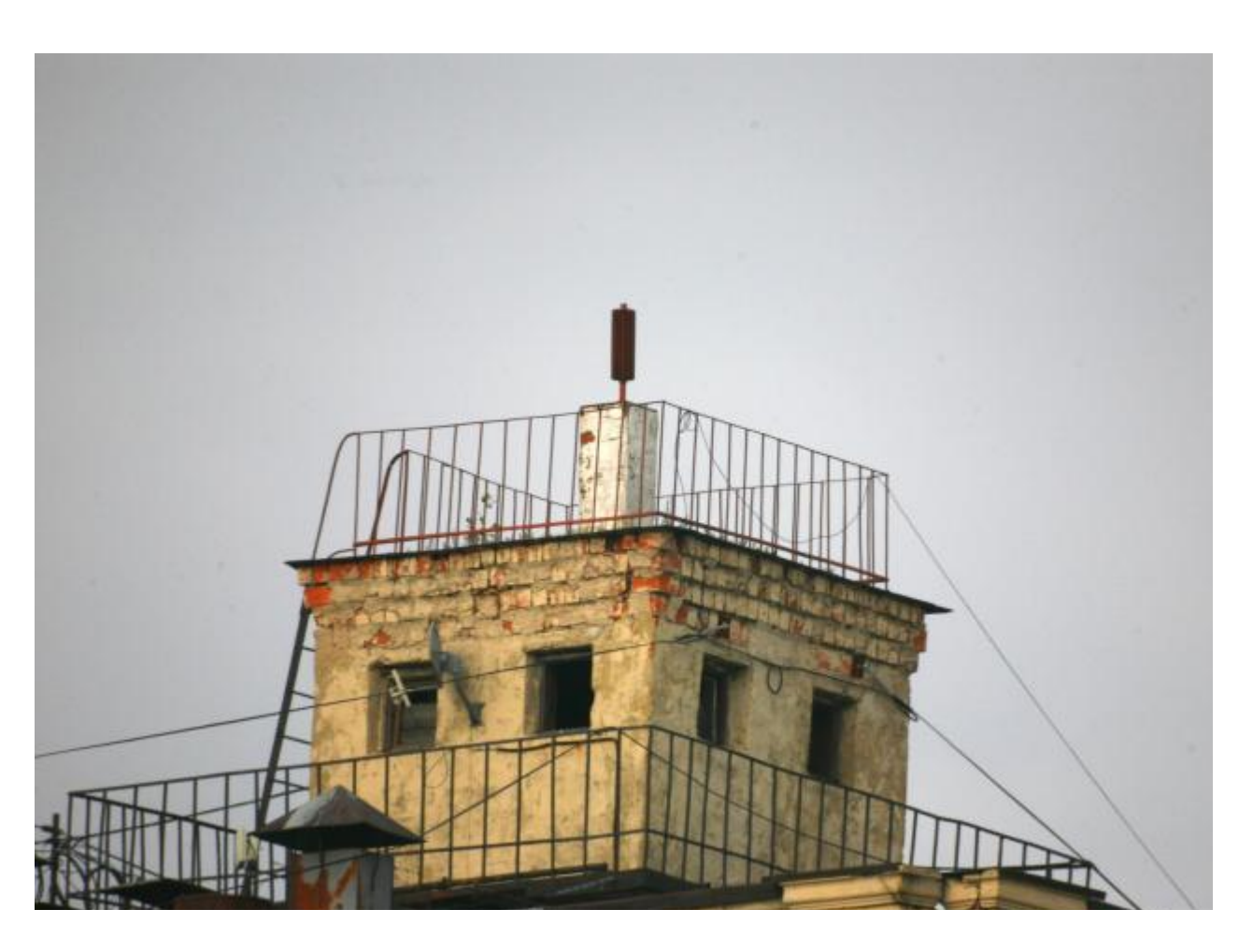


Пирамида. Высота до 8



Сигнал. Высота до 40 м

#### Пирамиды на крышах жилых домов





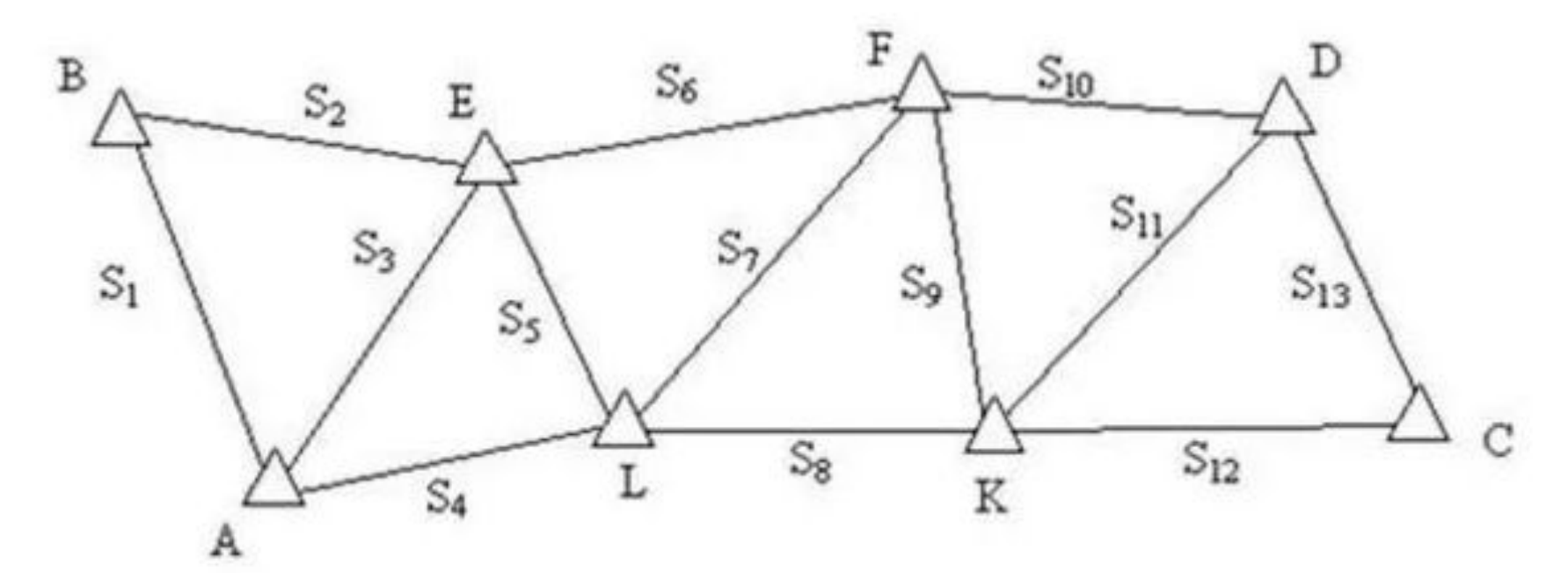




#### Трилатерация

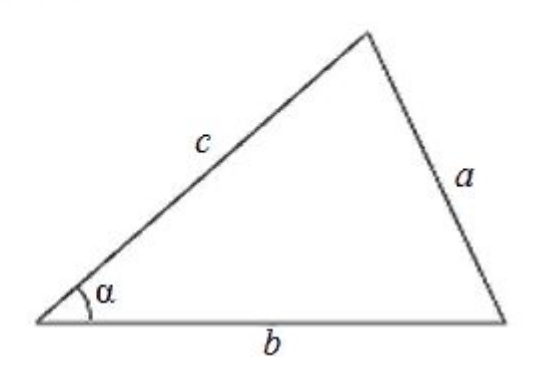
#### Определение трилатерации

■ Трилатерация (от лат. trilaterus — трёхсторонний) — метод определения положения геодезических пунктов путём построения на местности системы смежных треугольников, в которых измеряются длины их сторон. Является одним из методов определения координат на местности наряду с триангуляцией (в которой измеряются углы соответствующих треугольников) и полигонометрией (производится измерение как углов, так и



#### Основной принцип трилатерации

$$a^2 = b^2 + c^2 - 2bc\cos\alpha$$



#### СЛЕДСТВИЕ ИЗ ТЕОРЕМЫ КОСИНУСОВ

. 1. Теорема косинусов может быть использована для нахождения косинуса угла треугольника

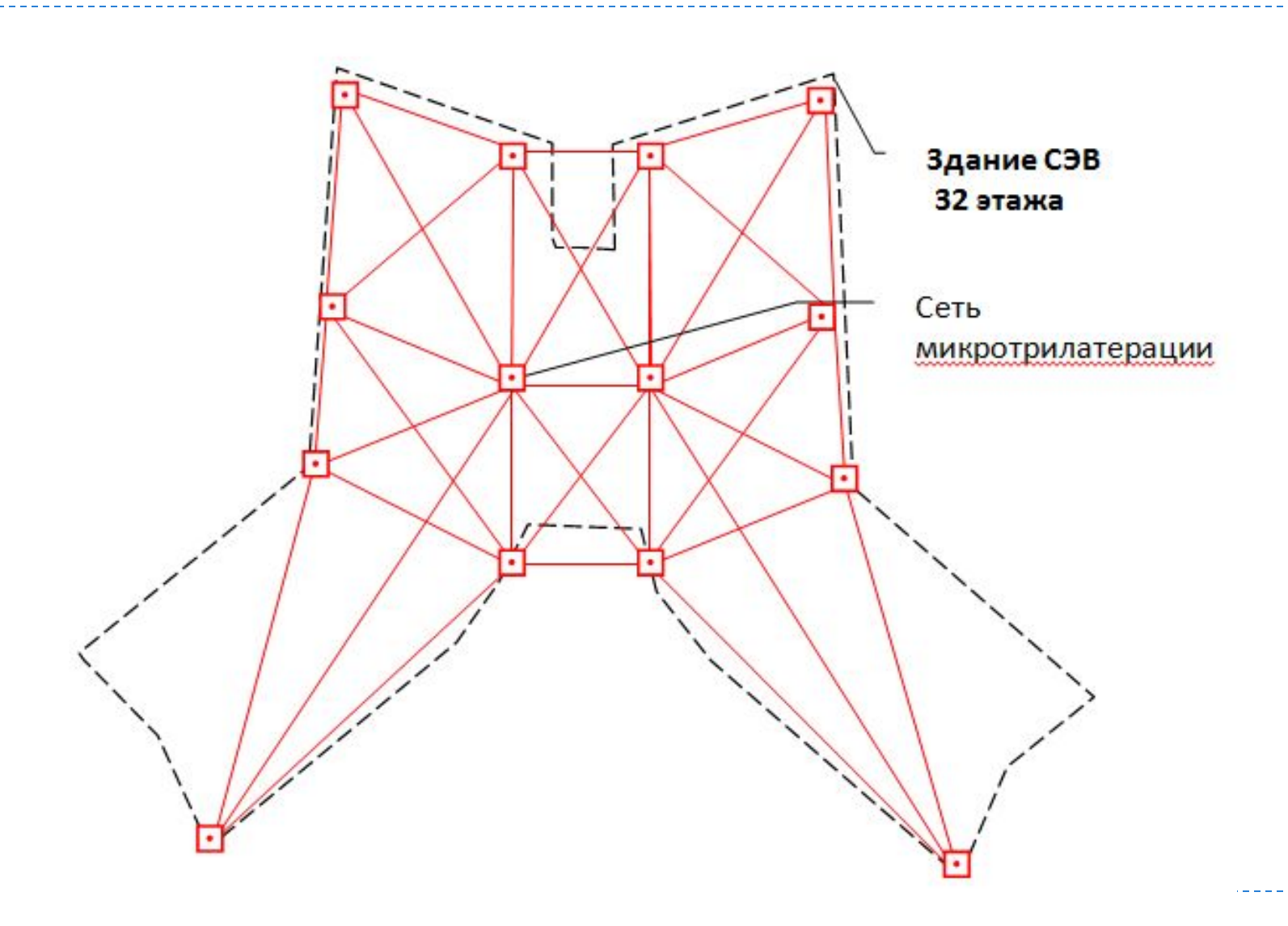
$$\cos \alpha = \frac{b^2 + c^2 - a^2}{2bc}$$

. 2. Если  $b^2 + c^2 - a^2 > 0$ , то угол lpha - острый;

Если  $b^2+c^2-a^2=0$ , то угол lpha - прямой;

Если  $b^2+c^2-a^2<0$ , то угол lpha - тупой.

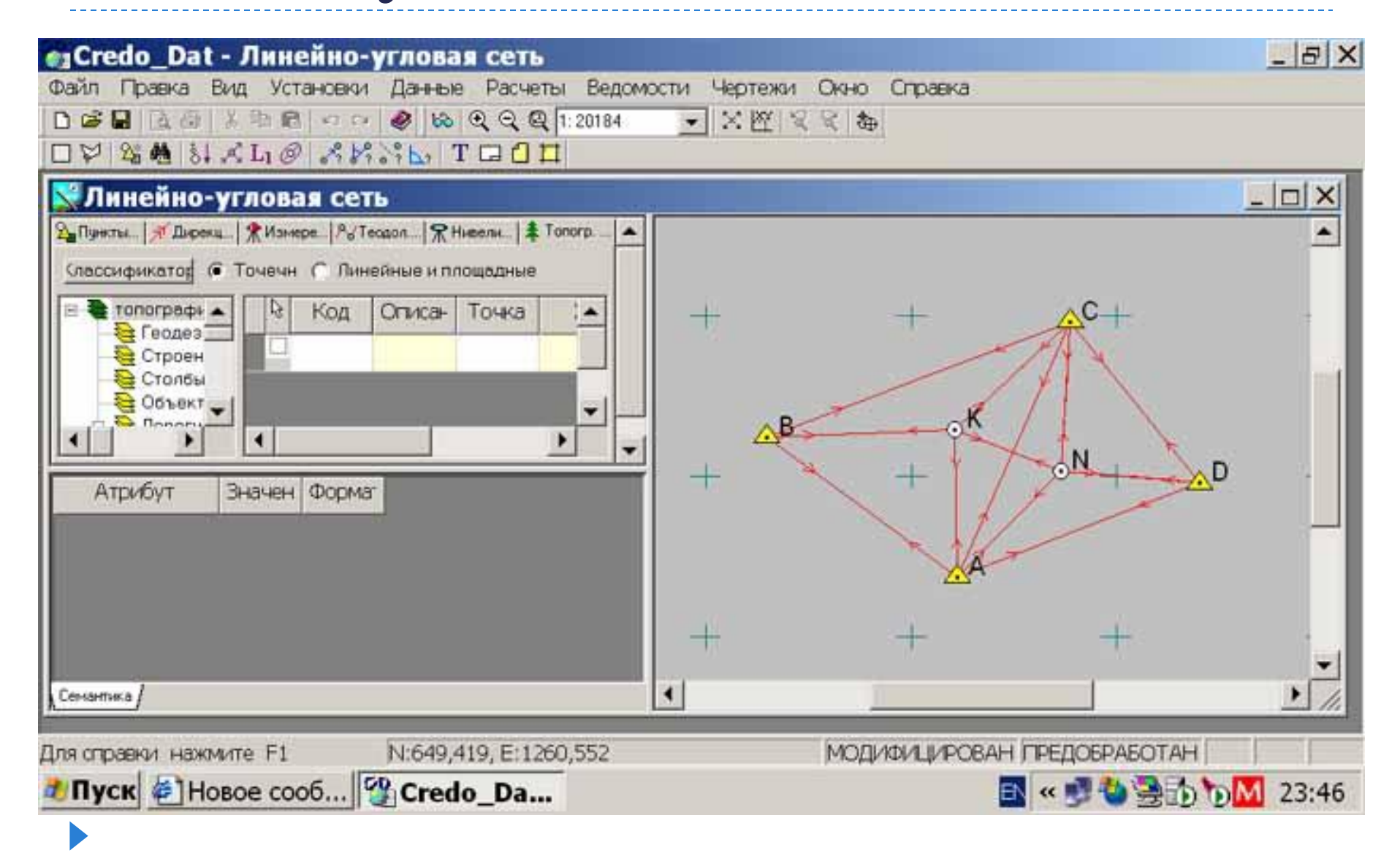
## Микротрилатерация. Стороны менее 30 м.



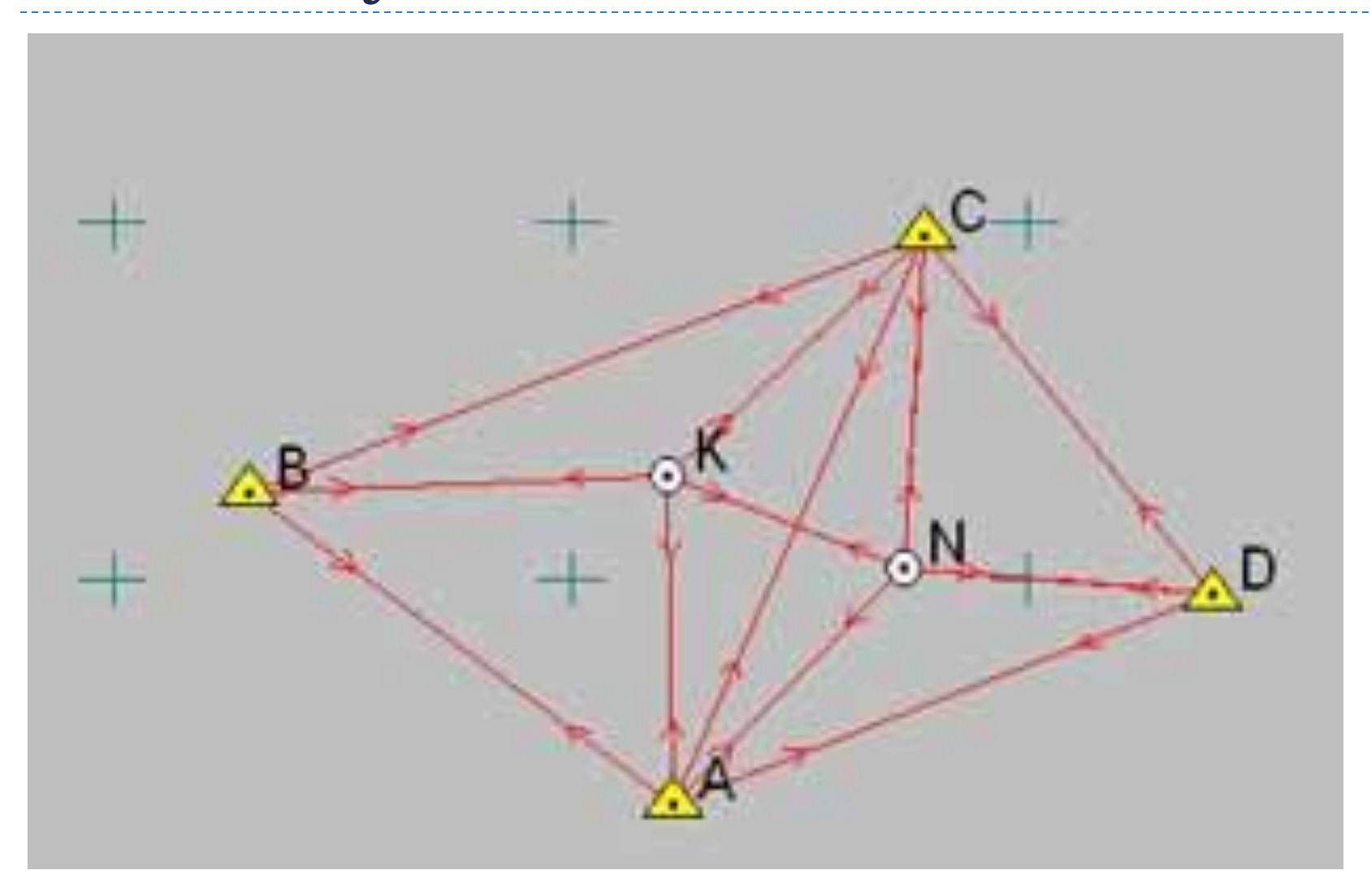


#### Линейно-угловая сеть

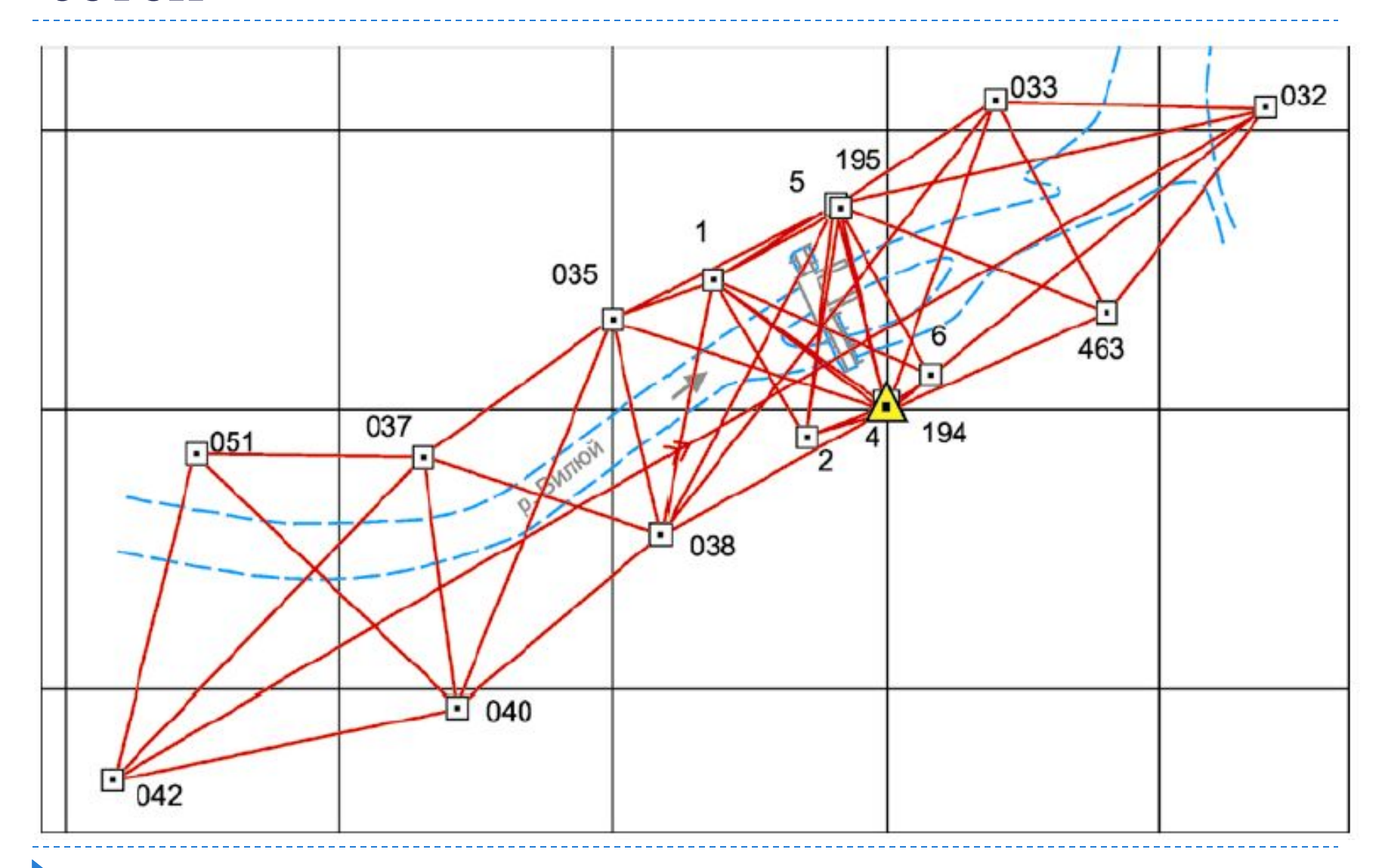
#### Линейно-угловая сеть



#### Линейно-угловая сеть



### Сравнение точности различных видов сетей



#### СКП положения пунктов сети Вилюйской ГЭС

Исследуемые сети	Предрасчетная СКП определения положения пунктов, мм			Фактические СКП определения положения пунктов, мм		
	минимальн ая	максимальн ая	средняя	минимальн ая	максимальн ая	средняя
Трилатераци я	1.0	2.8	1.7	1.0	2.7	1.6
Триангуляци я	3.2	20.9	9.1	2.8	18.3	7.9
Линейно- угловая	1.0	2.2	1.4	0.9	2.0	1.4





#### полигонометрия

□ Полигонометрия (от греч. polýgonos — многоугольный и ...метрия) — один из методов определения взаимного положения точек земной поверхности для построения геодезических сетей, служащей основой топографических съёмок...

# 

А,В -исходные пункты хода полигонометрии; АС, АD - твердые или исходные направления; 1,2,3... к -определяемые пункты;  $\alpha_1$ ,  $\alpha_2$  - исходные дирекционные углы;  $\gamma_A$ ,  $\gamma_B$  - примычные углы;  $\beta_1$ ,  $\beta_2$ ,  $\beta_K$  - измеренные углы;  $S_1$ ,  $S_2$ ,  $S_{K+1}$ -измеренные стороны .

## Один из первых электронных тахеометеров



#### Полигонометрия 4 класса

Основные характеристики полигонометрии 4 класса приведены в табл. 4.

Наименование элемента полигонометрии  Число сторон в одиночном ходе не более	Значения
Число сторон в одиночном ходе не более	
Предельная длина диагонали полигонометрического хода в зависимости от числа сторон хода:	20
при числе сторон 10	15 км 13 км 11 км
между узловыми пунктами и пунктами сети высших классов не более	7 км 0,25 км
вязкам ходов)	<u>+</u> 2,0"
до 500 м	±2,0 см +3,0 см 1:40 000 1:25 000



#### Полигонометрия 1, 2 разрядов

Таблица 5

	Значения	
Наименование элемента полигонометрии	1 разряд	2 разряд
Длина диагонали хода	5 км	3 км
или только между узловыми точками	3 км	2 KM
Периметр полигона не более	15 км	10 km
Длина стороны хода, км:		
наибольшая	0,80	0,35
наименьшая	0,12	0,08
оптимальная	0,30	0,20
Число сторон в ходе не более	15	15
Относительная ошибка хода не более	1:10 000	1:5000
Средняя квадратическая ошибка измерения угла		
(по невязкам в ходах и полигонах) не более	±5"	$\pm 10''$
Угловая невязка хода или полигона не более (п —	A second of	
число углов в ходе)	10"7/n	20″√ n

#### Пункты полигонометрии





#### Пункты полигонометрии





#### ПОЛИГОНОМЕТРИЯ. Трехштативный метод

# Современные электронные тахеометры

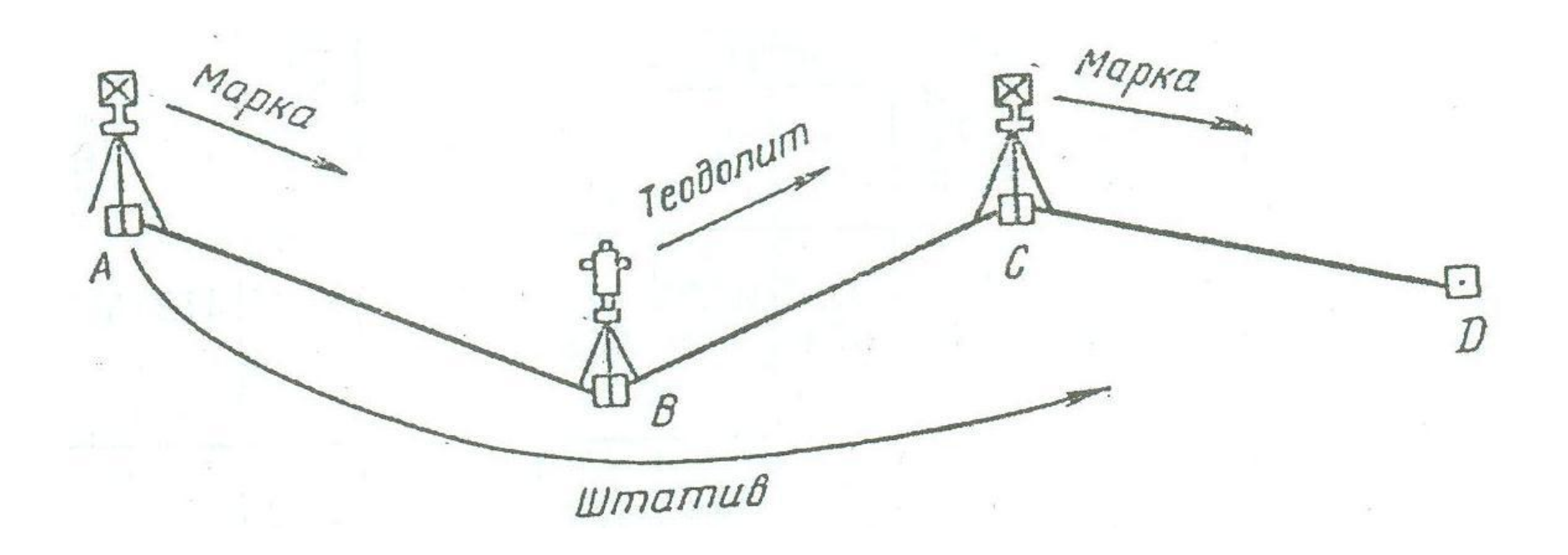


# Профессиональная отражательная призма





#### Принцип трехштативного метода





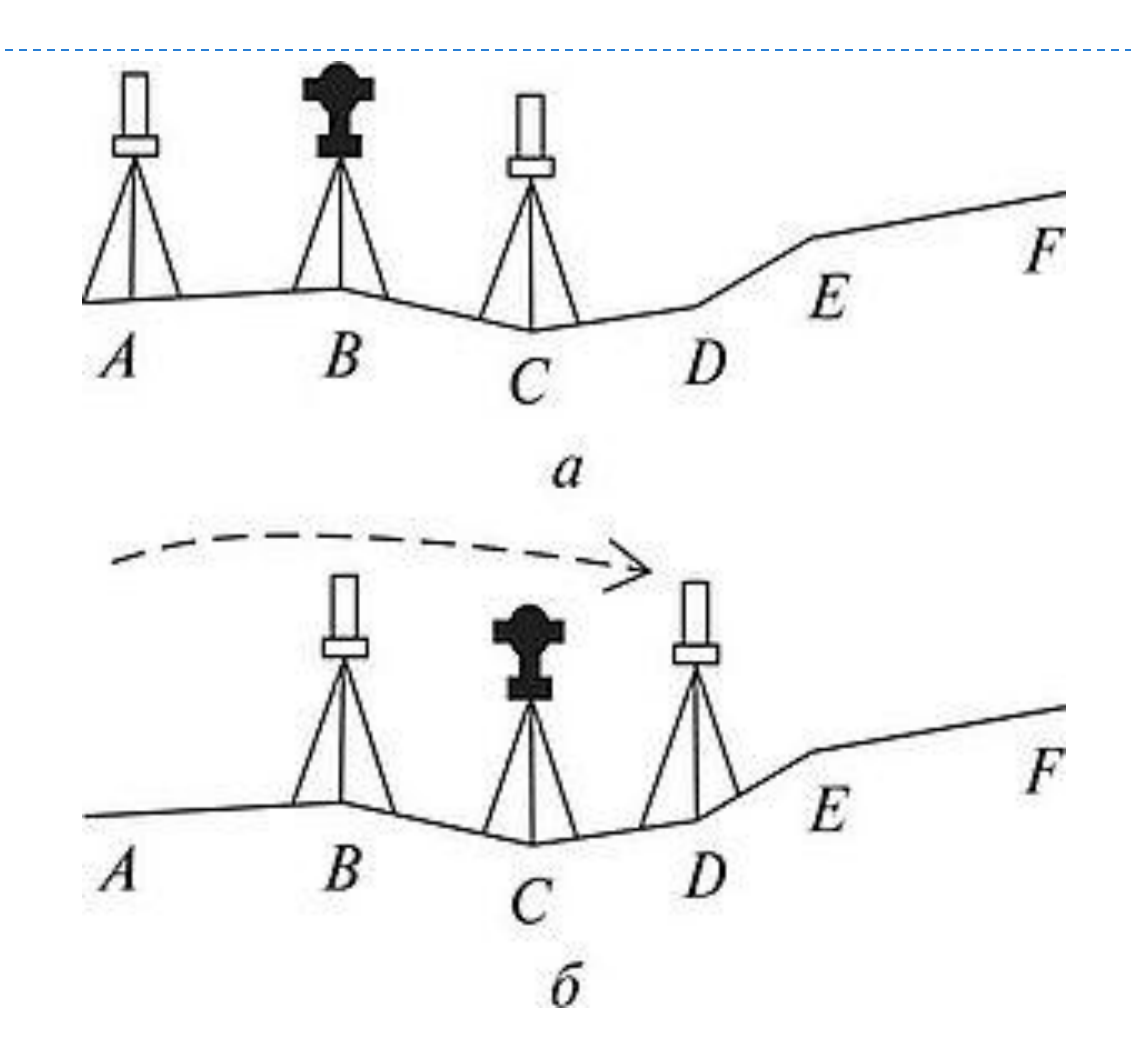
#### Трегер марки



#### Трегер тахеометра



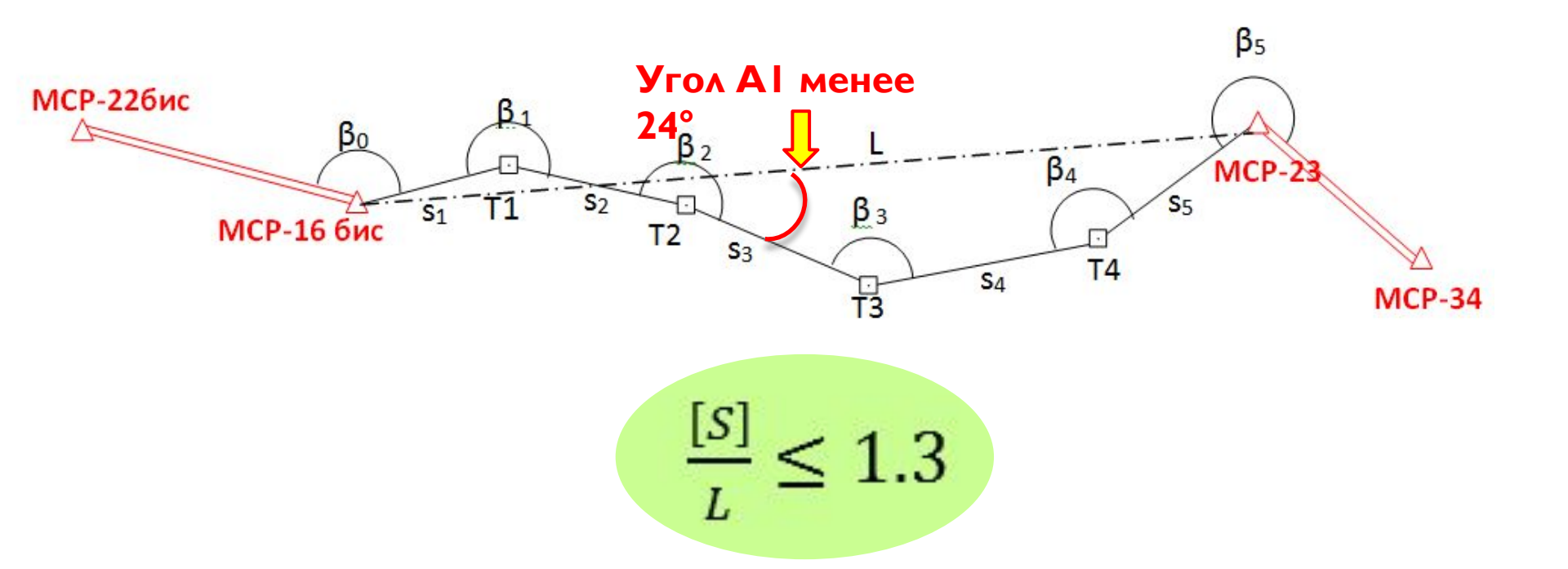






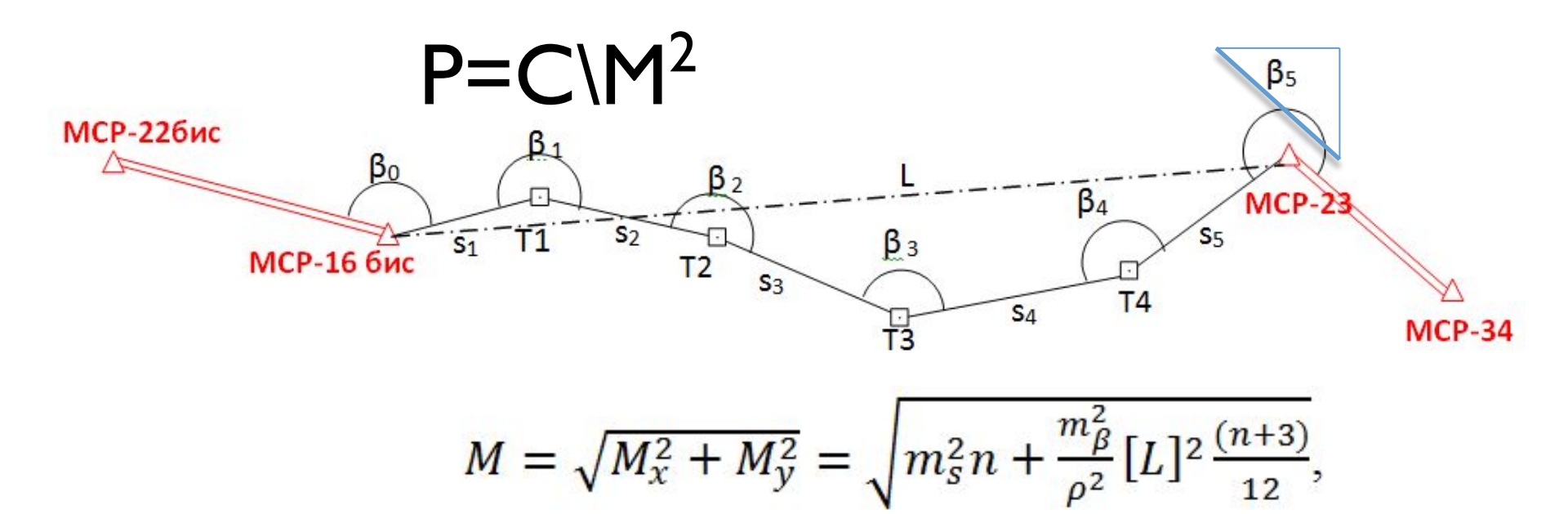
ПОЛИГОНОМЕТРИЯ. Продольная и поперечная невязка хода. Особенности привязки хода

#### Критерий вытянутости хода





#### Вытянутый полигонометрический ход



где: $m_s$  — СКП измерения расстояния;

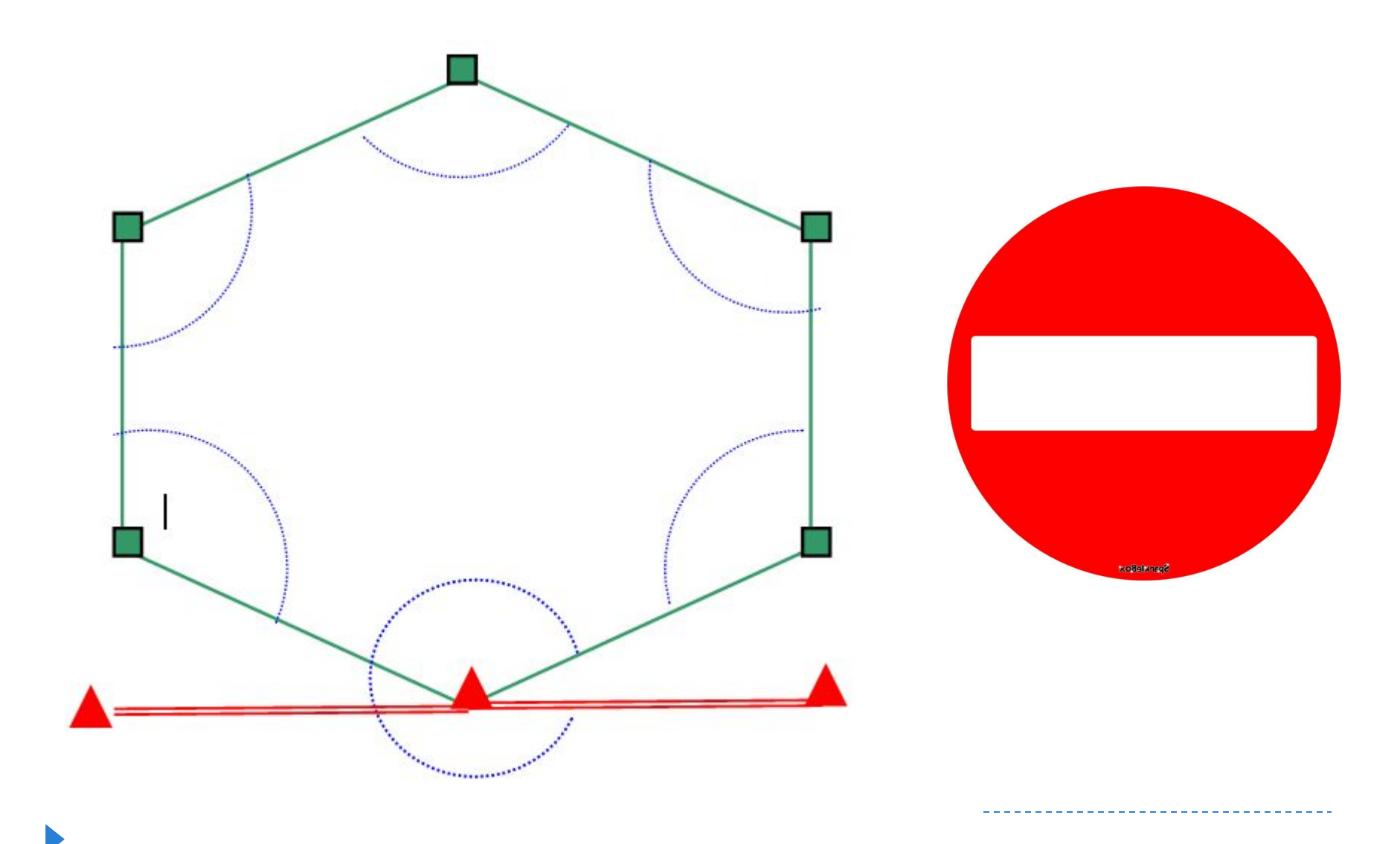
n - кол-во пунктов полигонометрического хода;

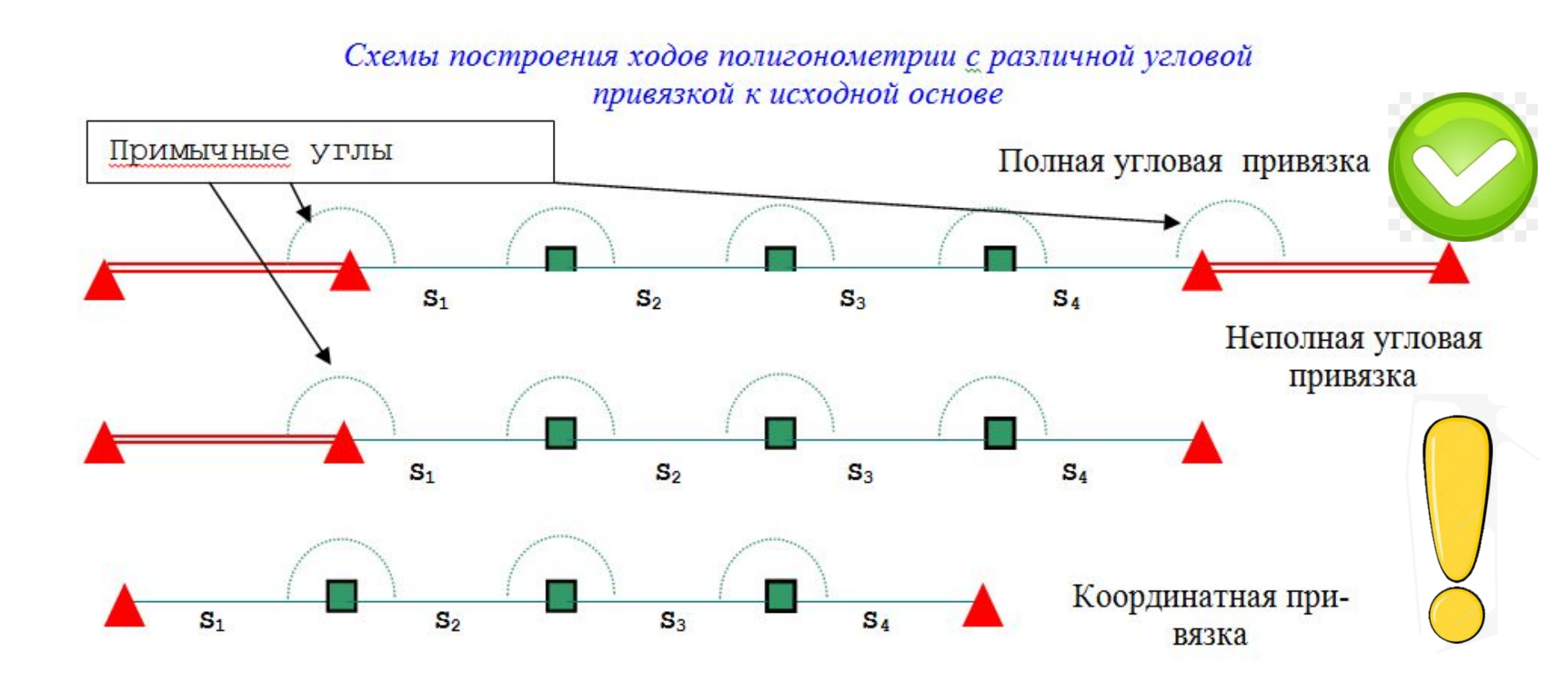
 $m_{\beta}$  - СКП измерения угла;

[L]- длина полигонометрического хода.



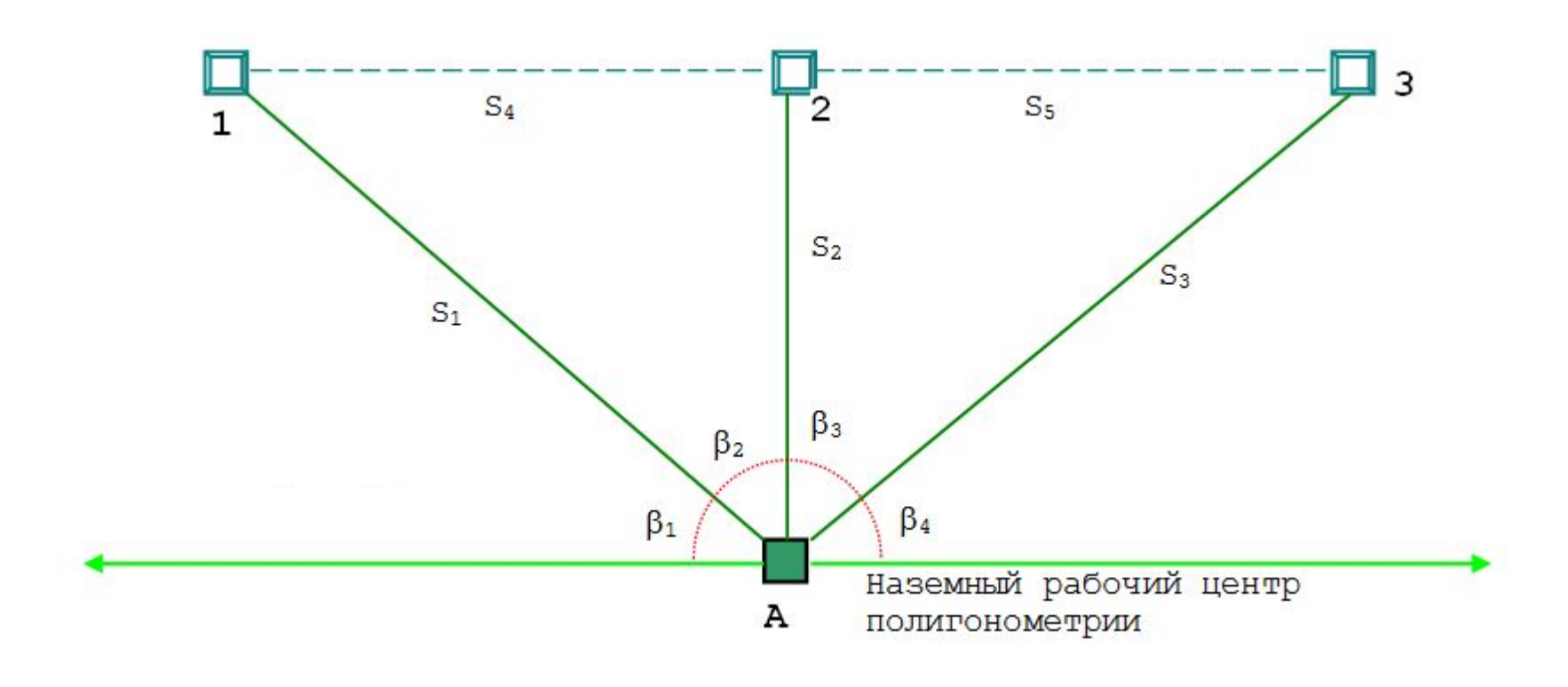
## Замкнутый полигонометрический ход. В городе и на линейных объектах запрещен





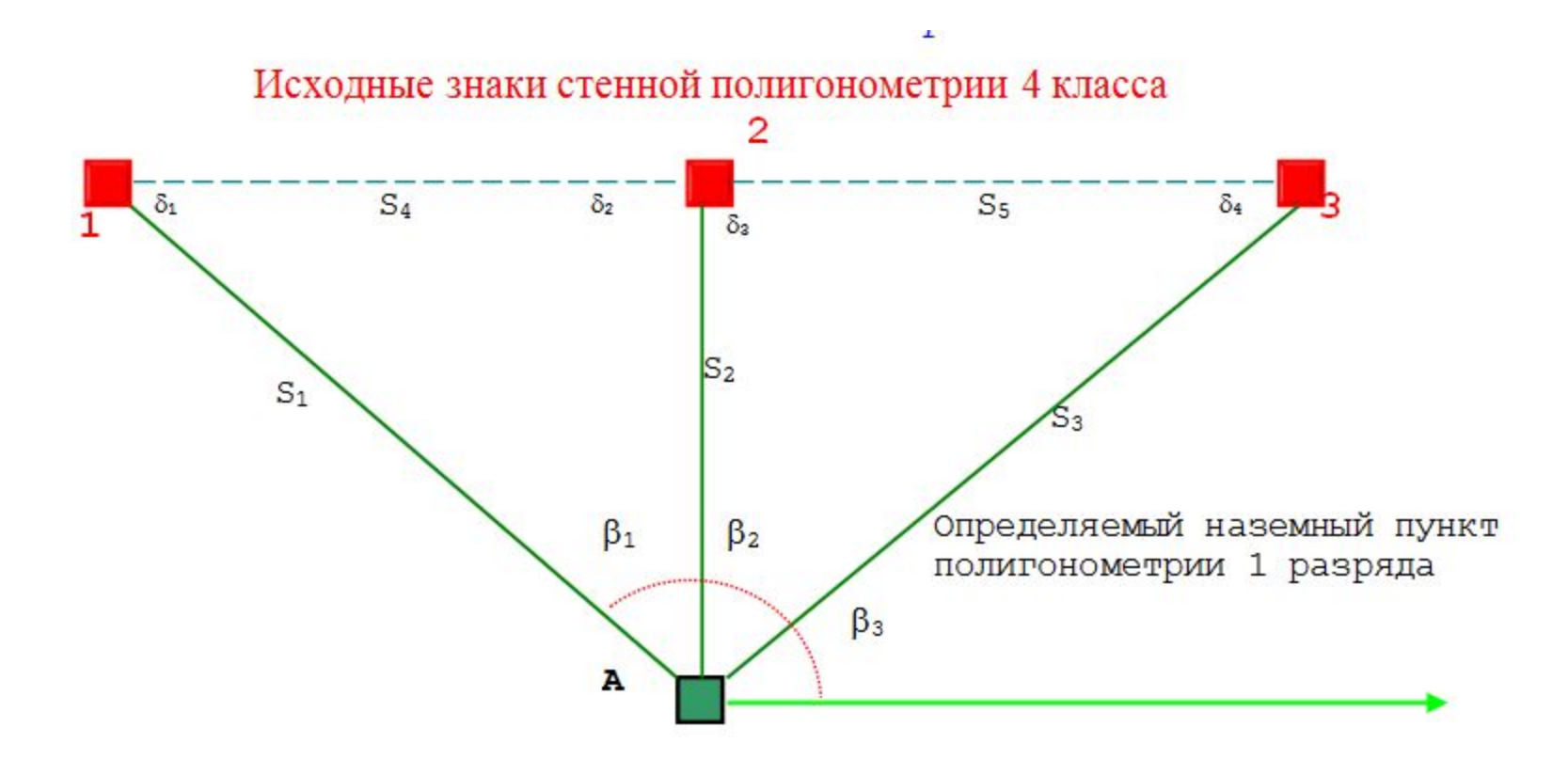


## Определение координат стенных знаков





## Засечка от стенных знаков полигонометрии.

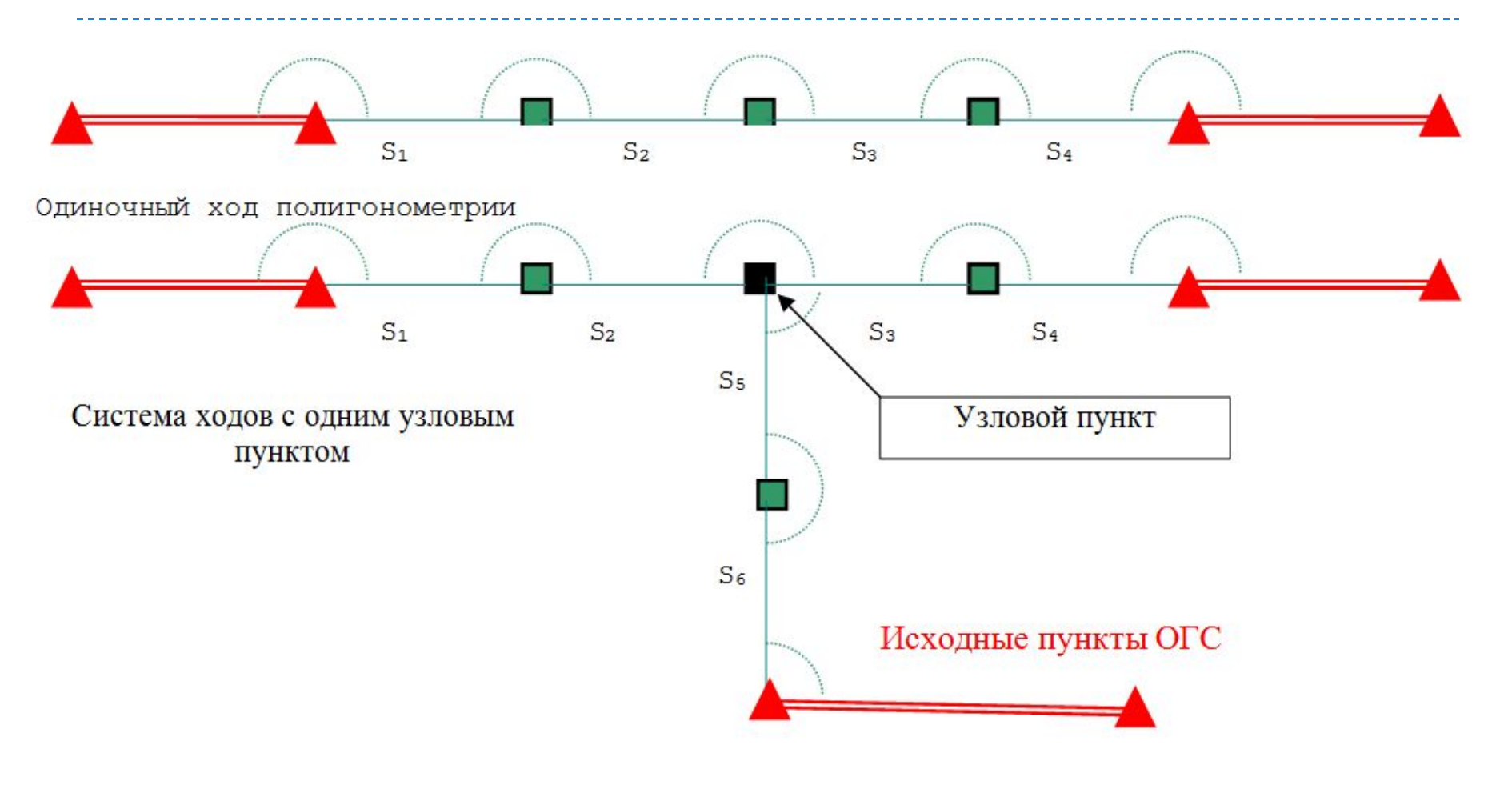






## ПОЛИГОНОМЕТРИЯ. Узловая точка

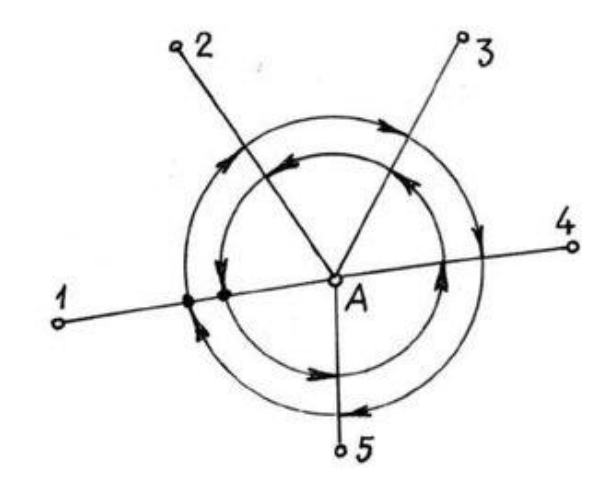
### Система хода полигонометрии с узловой точкой





### Способ круговых приёмов

№№ точек	Измеренное направление (КЛ)	Измеренное направление (КП)	Средний отсчет	Приведенное направление	Вычислен- ный угол	β <sub>i</sub>
1	2	3	4	5		
			(0°01'14,6")			
1	0°01'15,6"	180°01'14,4"	0°01'15,0"	0°00'00,0"		
2	66°36'24,3"	246°36'22,8"	66°36'23,6"	66°35'09,0"	66°35'09,0"	$\beta_{I}$
3	138°05'08,7"	318°05'08,3"	138°05'08,5"	138°03'53,9"	71°28'44,9"	$\beta_2$
4	181°42'36,0"	1°42'35,1"	181°42'35,6"	181°41'21,0"	43°37'27,1"	$\beta_3$
5	272°16'42,4"	52°16'41,0"	272°16'41,7"	272°15'27,1"	90°34'06,1"	$\beta_4$
1	0°01'15,0"	180°01'13,6"	0°01'14,3"	(0°) 360°00'00,0"	87°44'32,9"	$\beta_5$



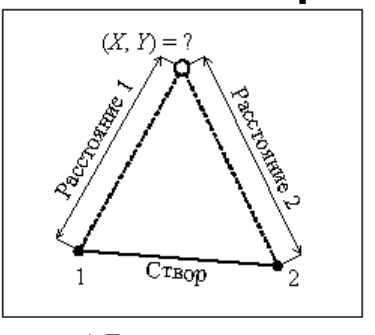


## Сгущение геодезической сети. Засечки

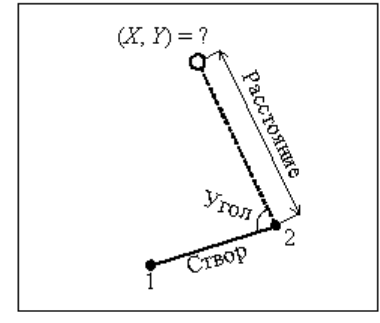
#### Понятие засечки

□ Геодезическая засечка— способ получения координат точки путём измерения углов или расстояний, либо совместного измерения и углов и расстояний от этой точки до известных пунктов опорной геодезической

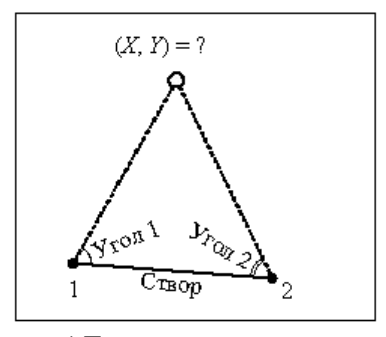
сети.



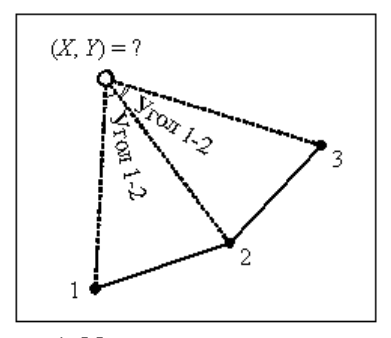
а) Линейная засечка



б) Полярная засечка



в) Прямая угловая засечка



г) Обратная угловая засечка



# Определение координат отдельных пунктов

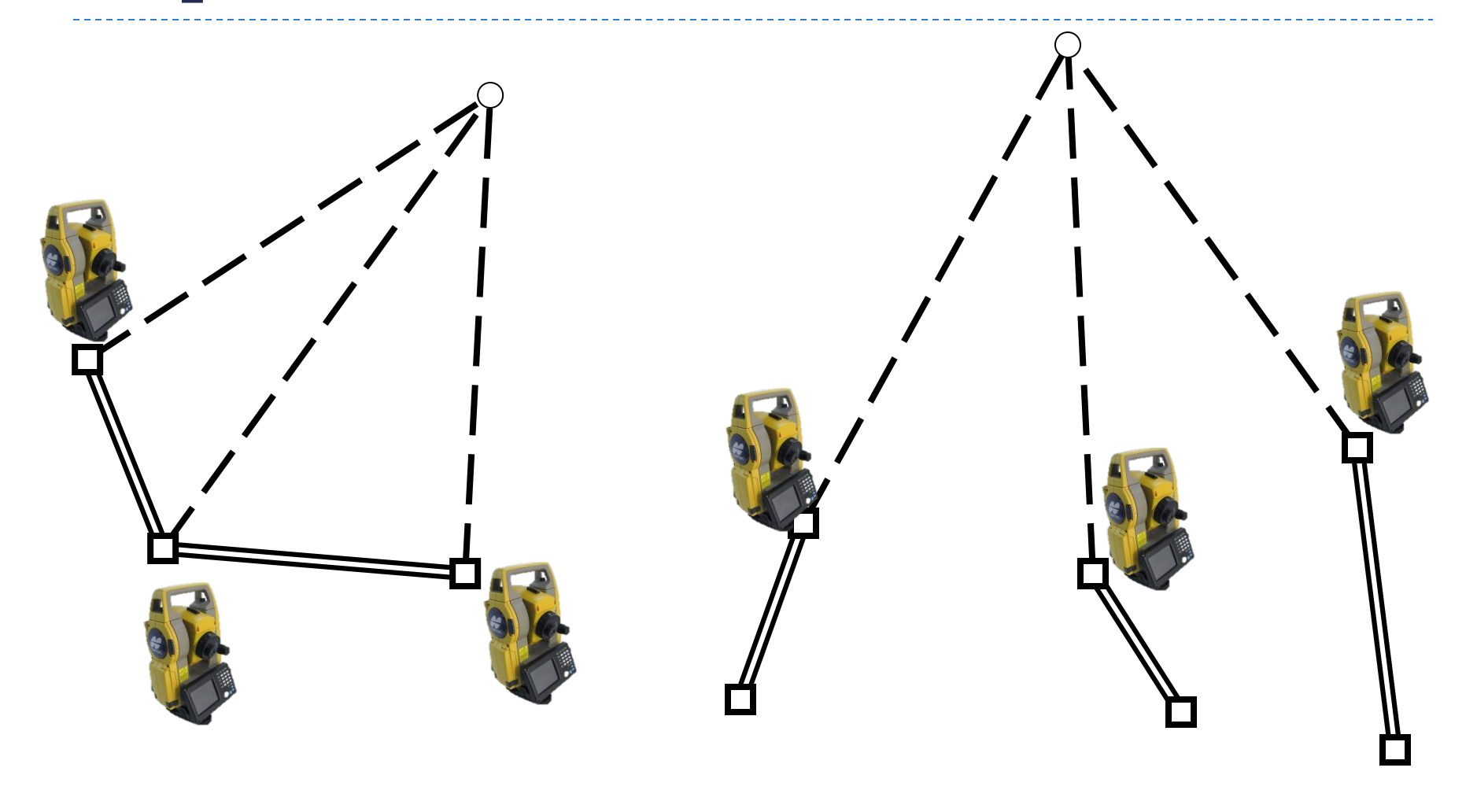
- Прямая засечка
- 2. Обратная засечка
- Линейная засечка
- Аучевой метод
- 5. Приборами независимого определение координат





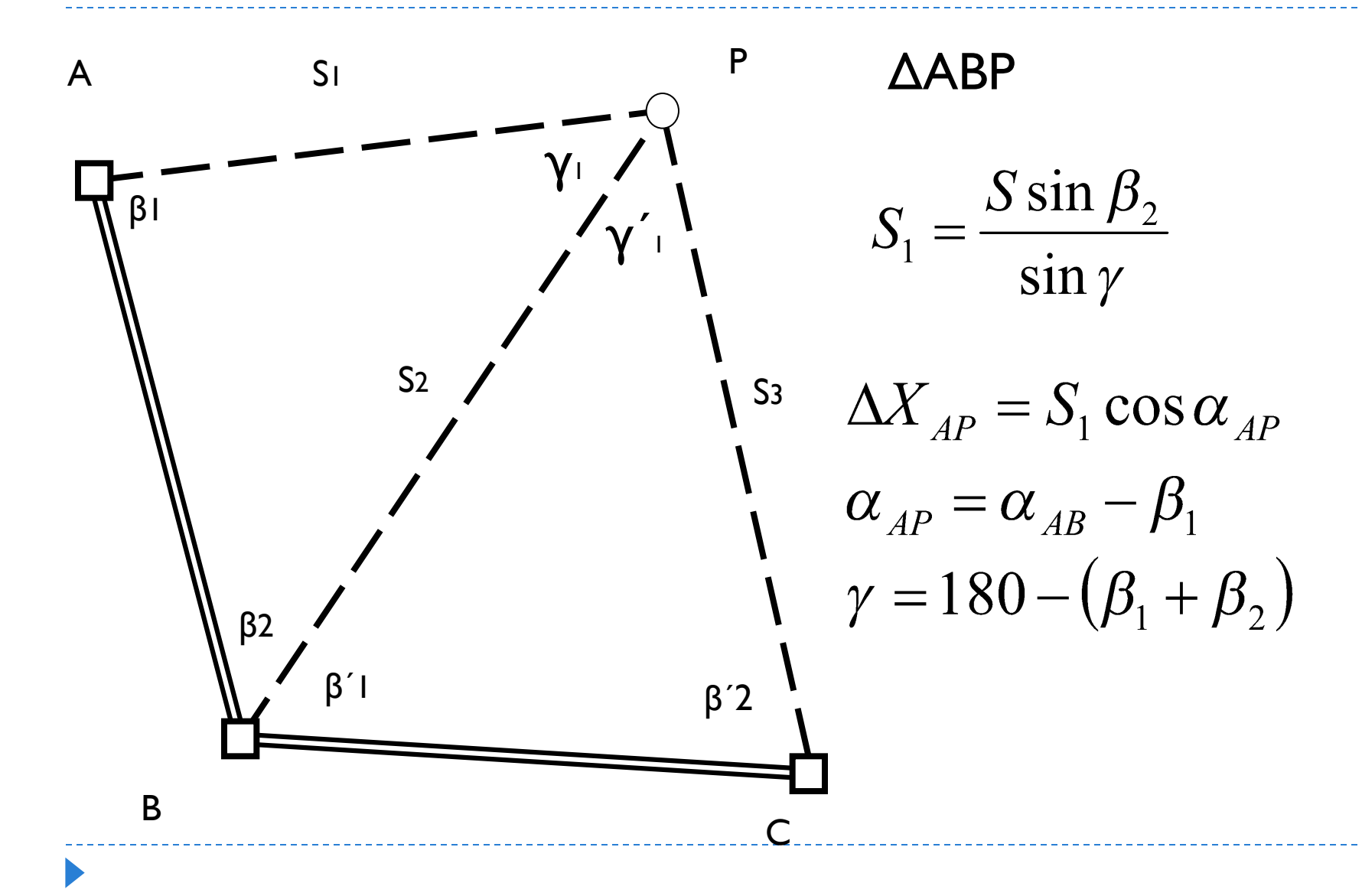
### Угловые засечки

### Прямая засечка

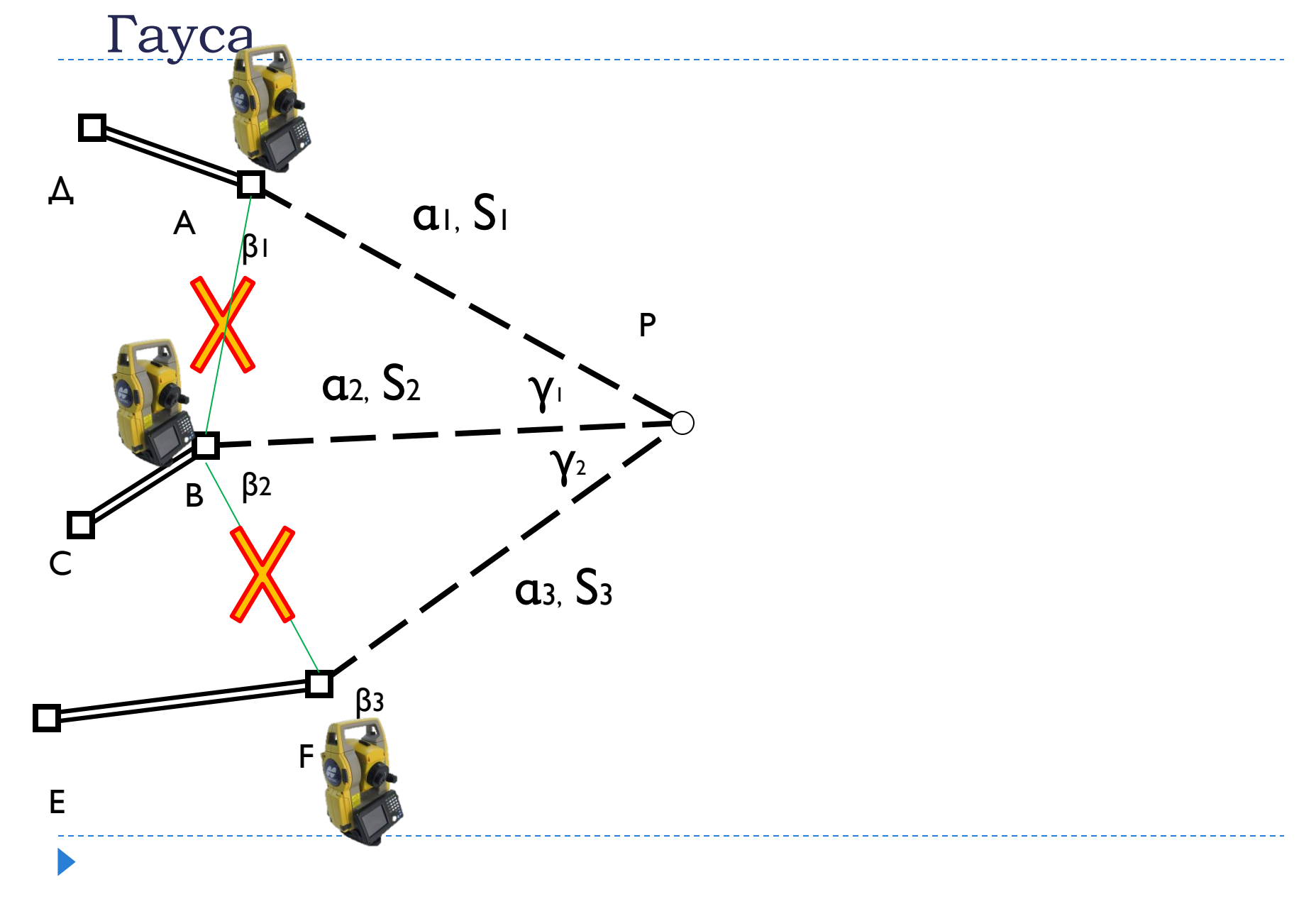




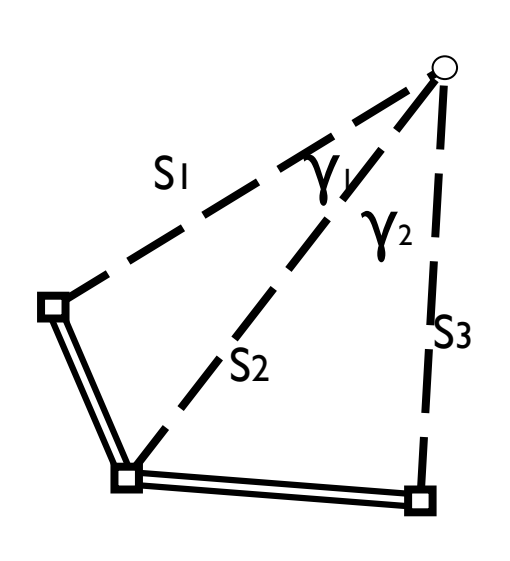
### Решение прямой засечки по формуле Юнга

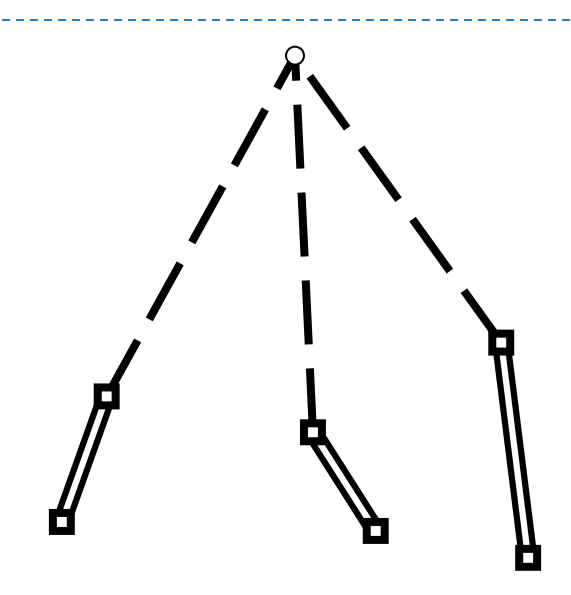


#### Решение прямой засечки по формуле



#### Outline 10 Though pesynbratob offpedenenna координат точки многократной прямой засечкой

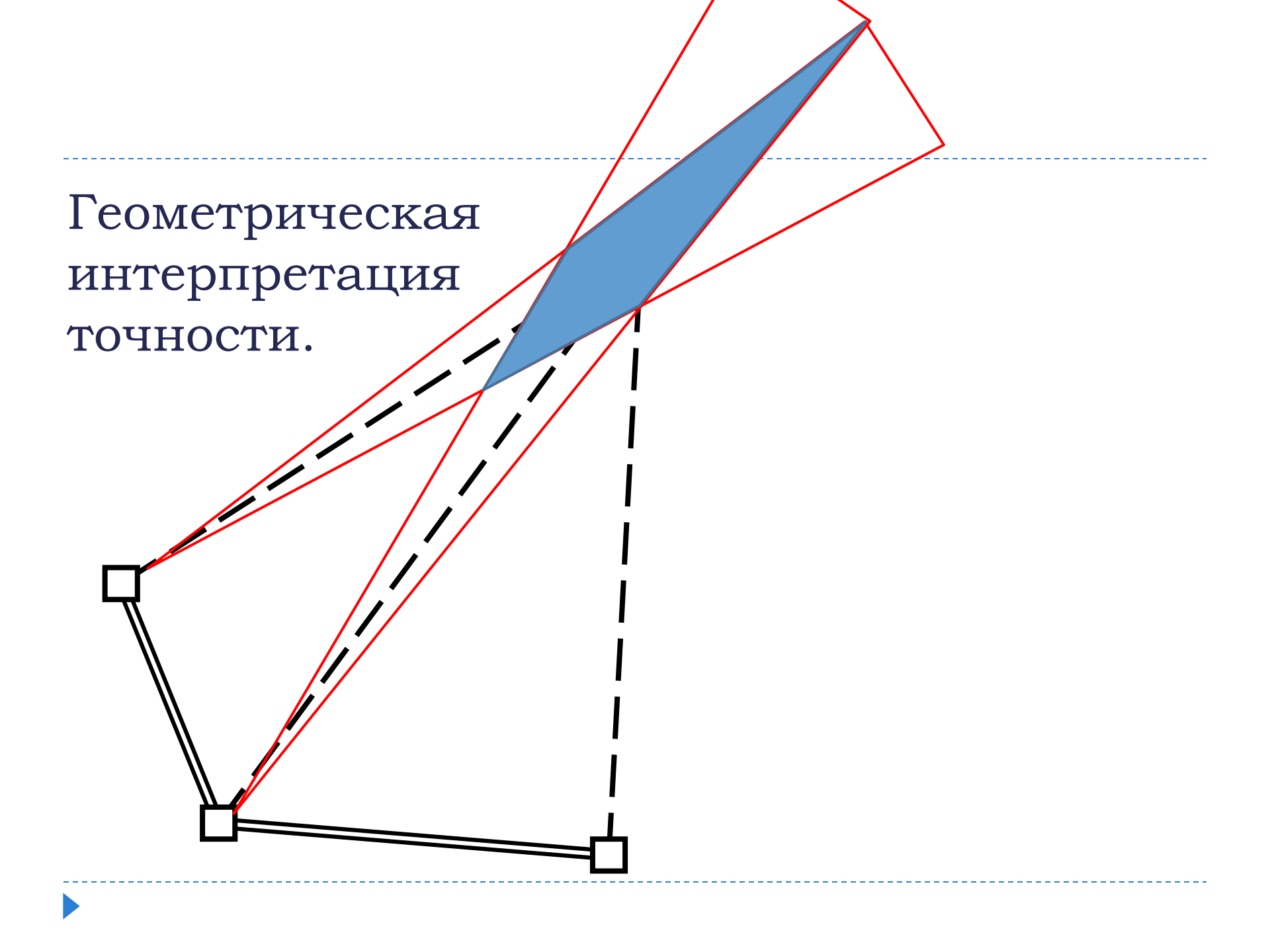


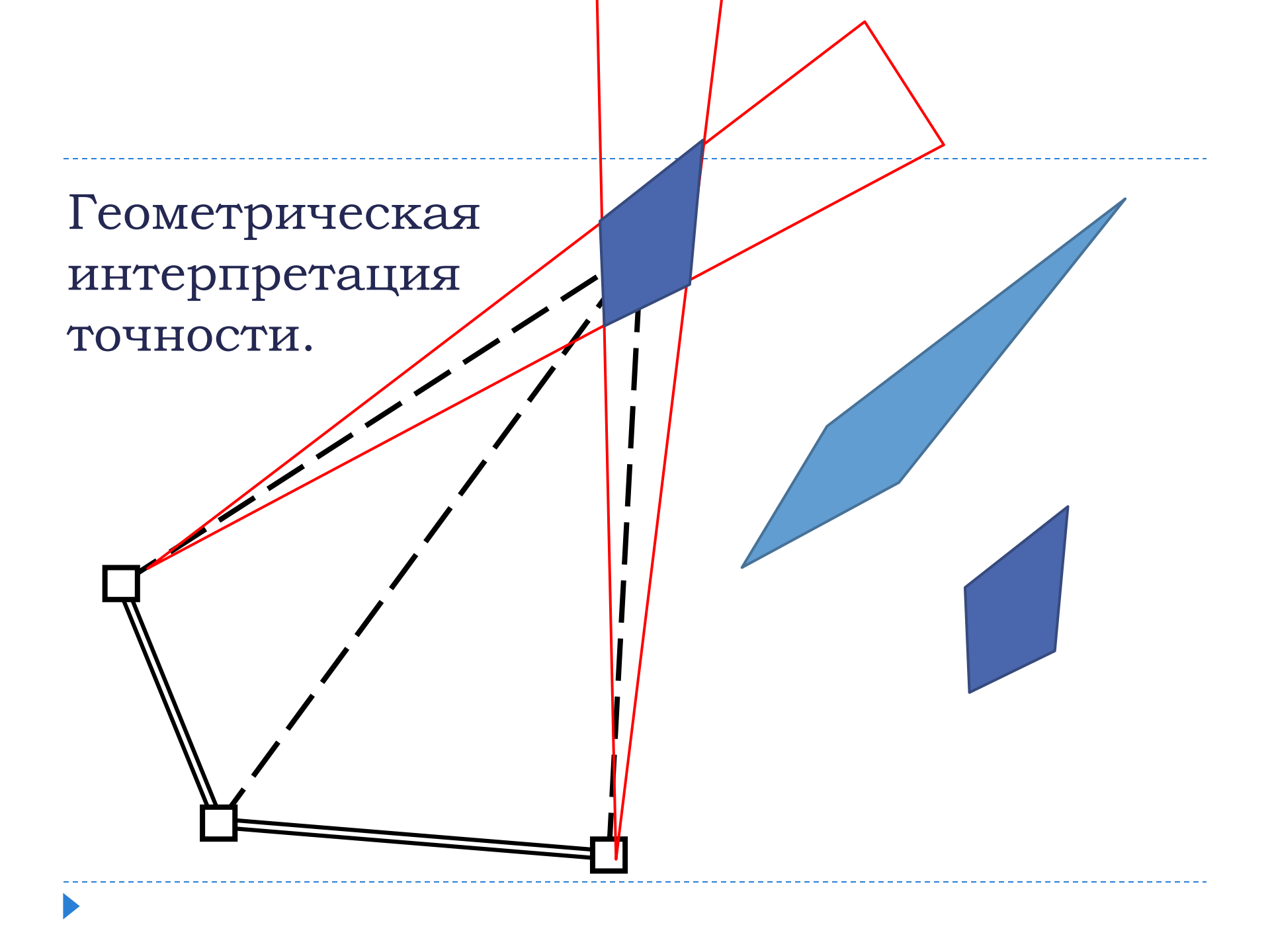


$$m_1 = \frac{m_\beta}{\rho'' \sin \gamma_1} \sqrt{S_1^2 + S_2^2}$$
 Оптимальное решение 30°  $\leq \gamma \leq$  150°

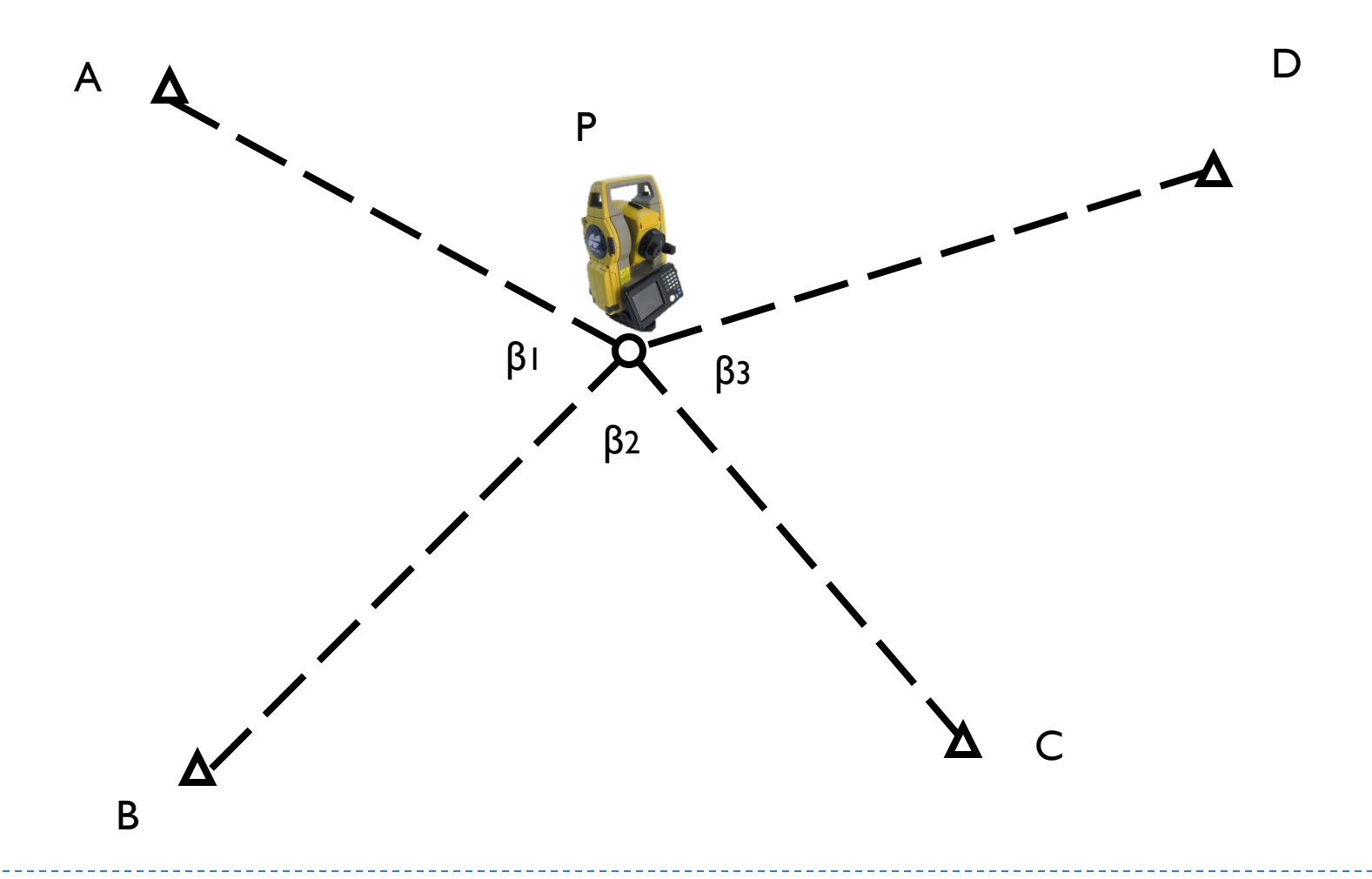
$$m_{P_{cp}} = \frac{1}{n} \sqrt{{m_1}^2 + {m_2}^2}$$
 п- число засечек



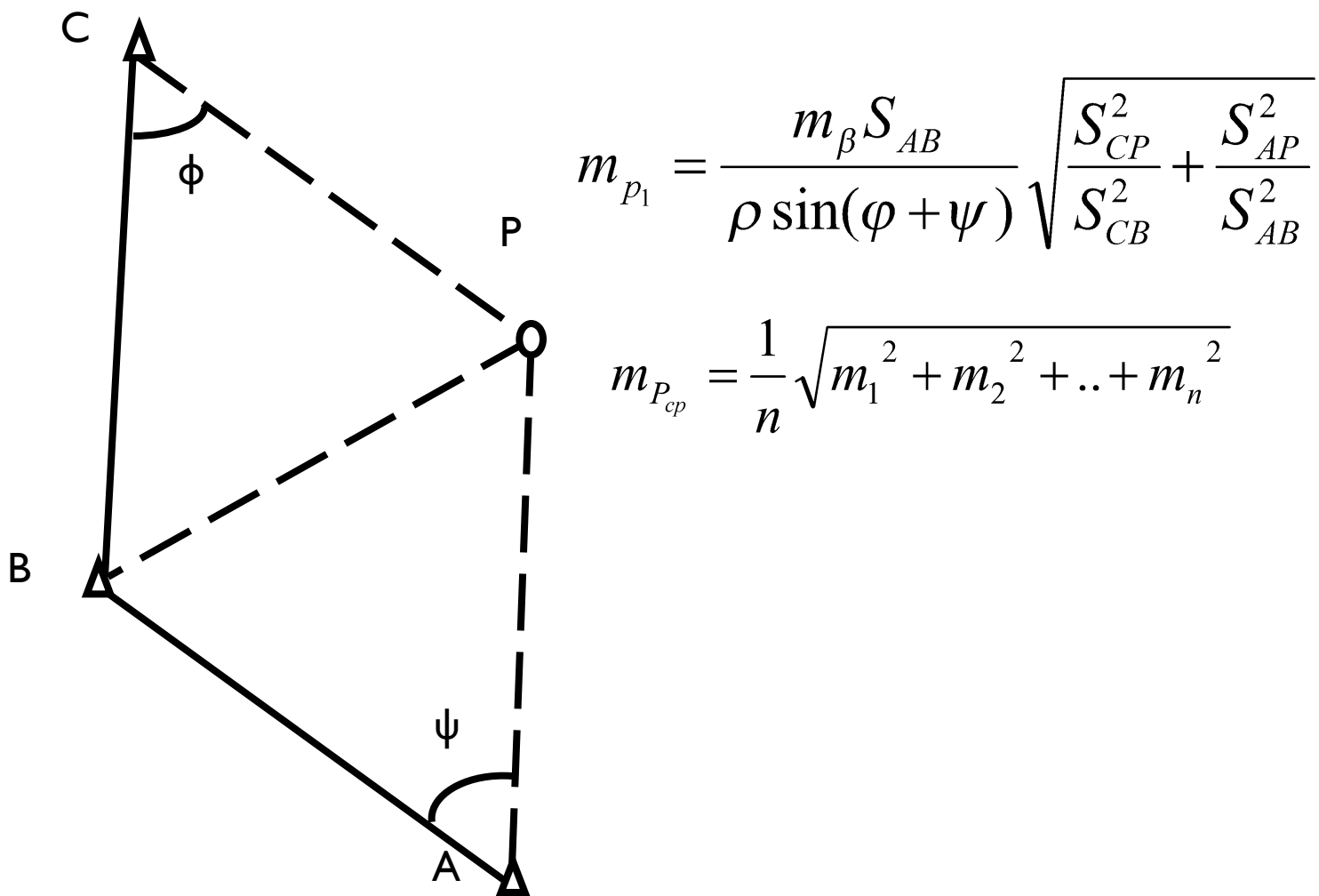




#### Обратная засечка



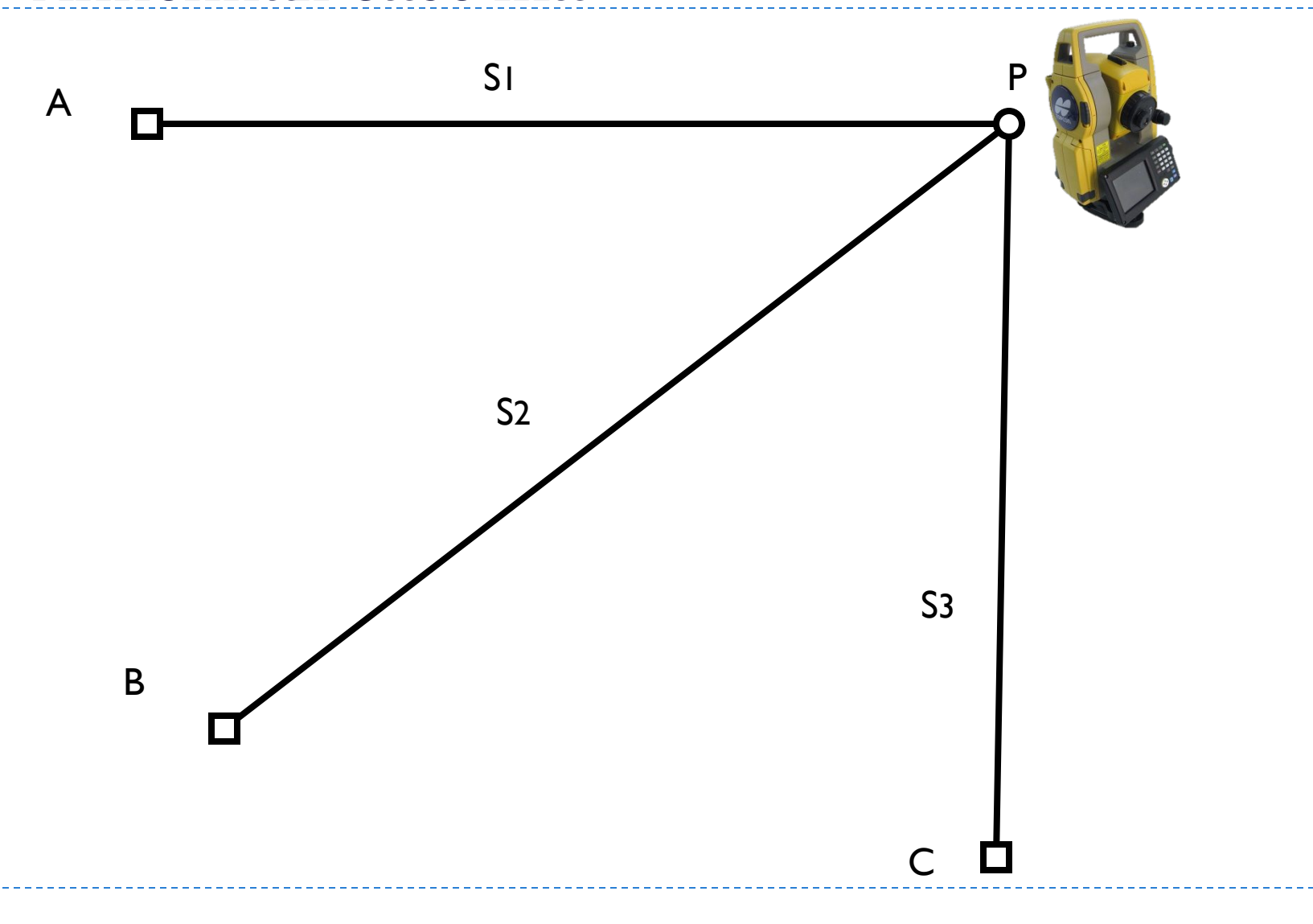
### Оценка точности многократного определения координат точки обратной засечкой



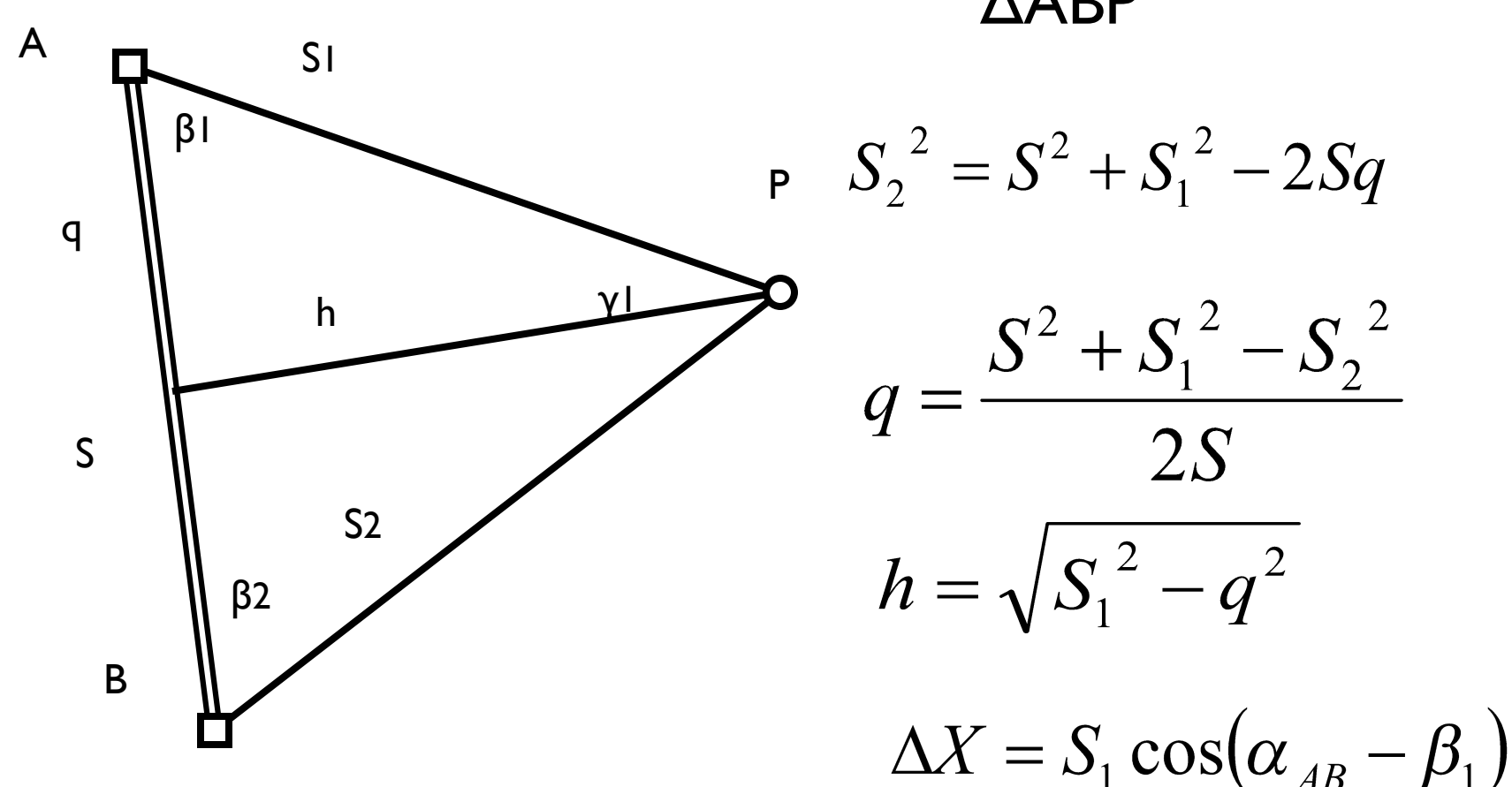


### **Линейная засечка**

#### Линейная засечка



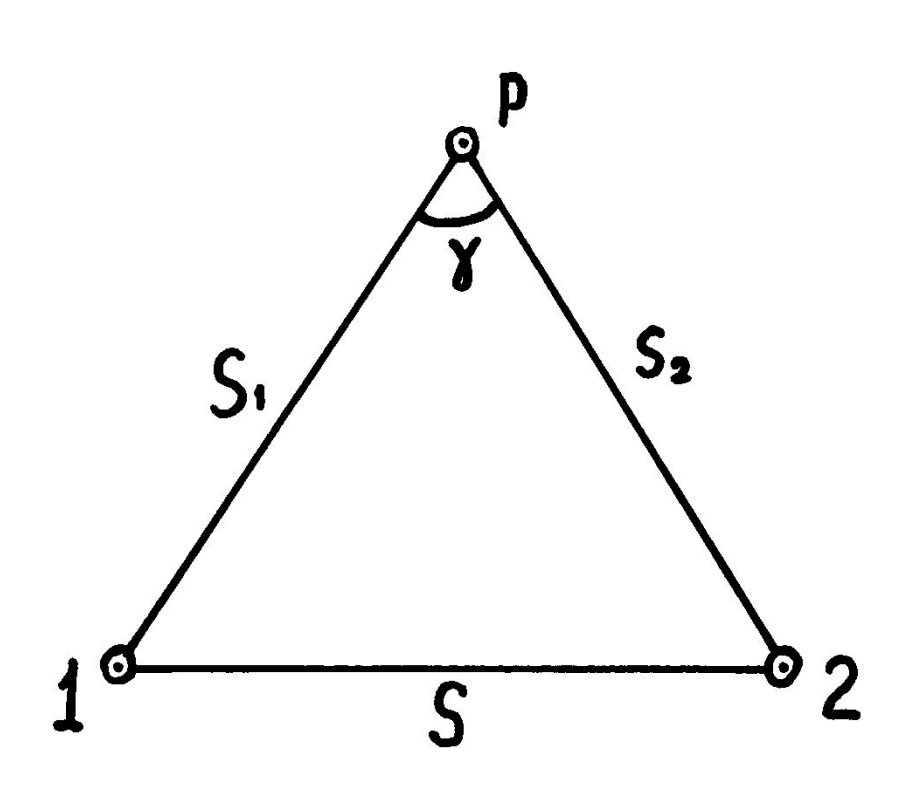
#### Решение линейной засечки







#### Оценка точности многократного определения координат точки линейной засечкой



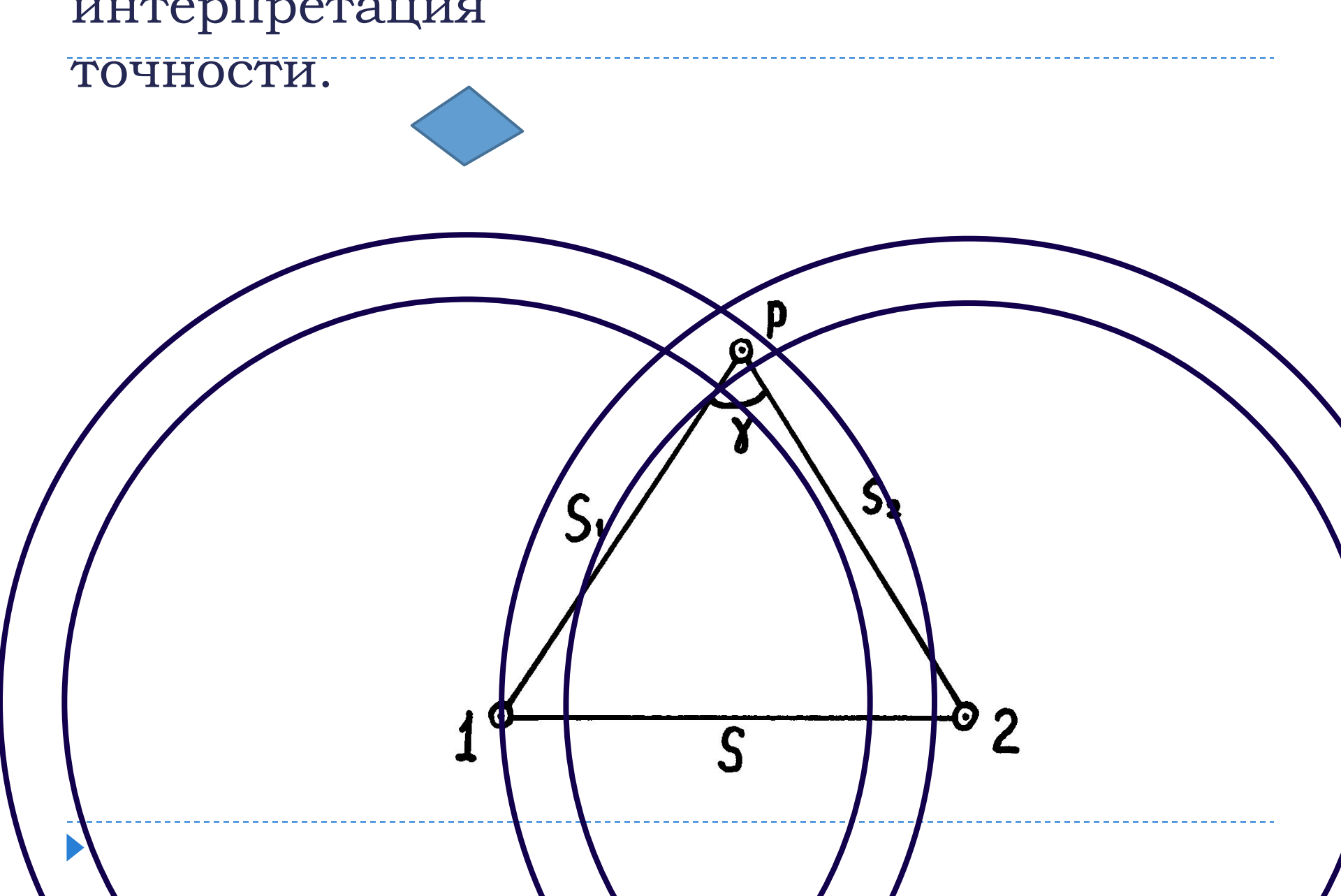
$$m_i = \frac{\sqrt{m_{S_1}^2 + m_{S_2}^2}}{\sin \gamma_i}$$

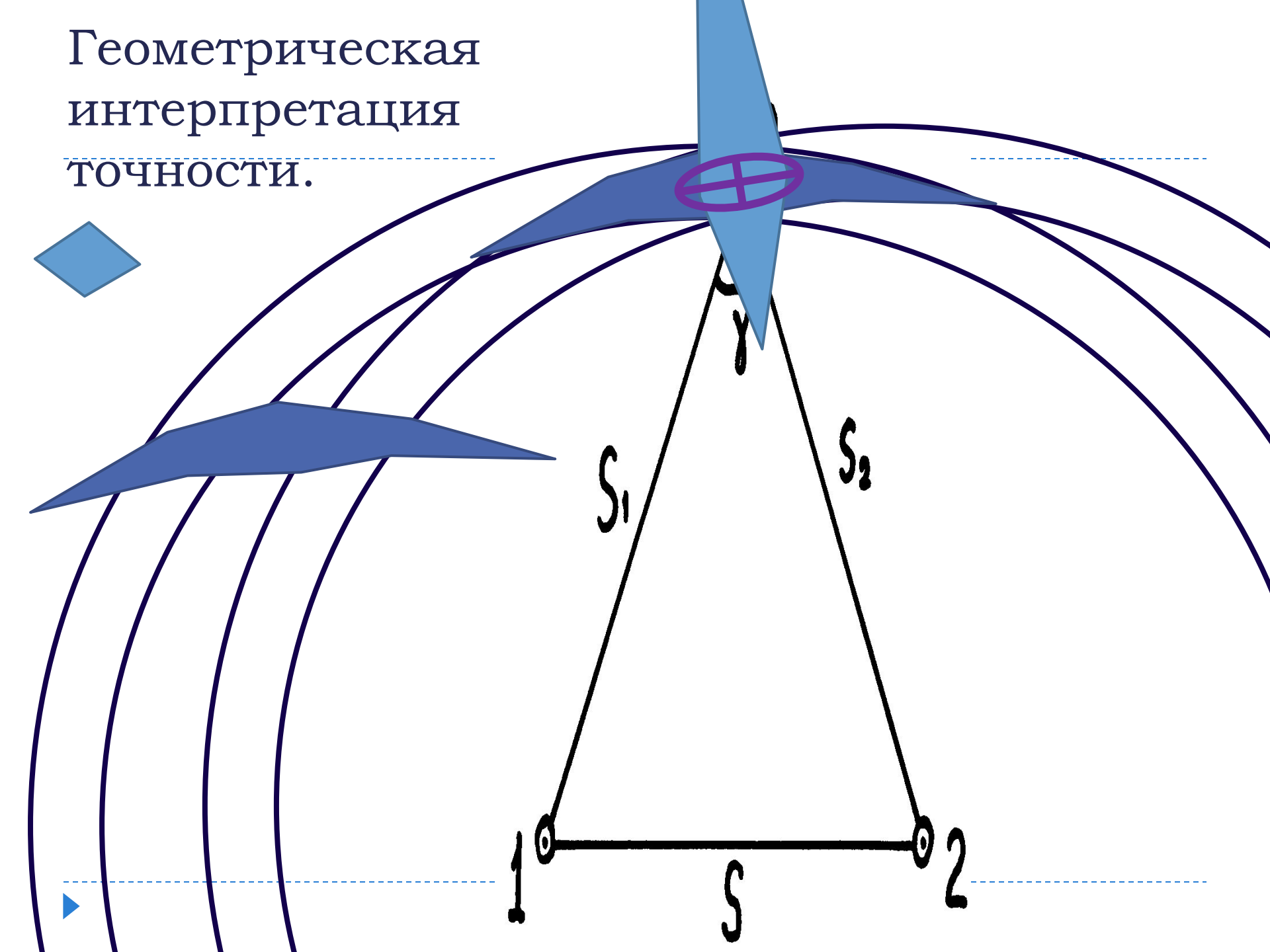
$$m_{P_{cp}} = \frac{1}{n} \sqrt{m_1^2 + m_2^2 + ... + m_n^2}$$

п- число засечек

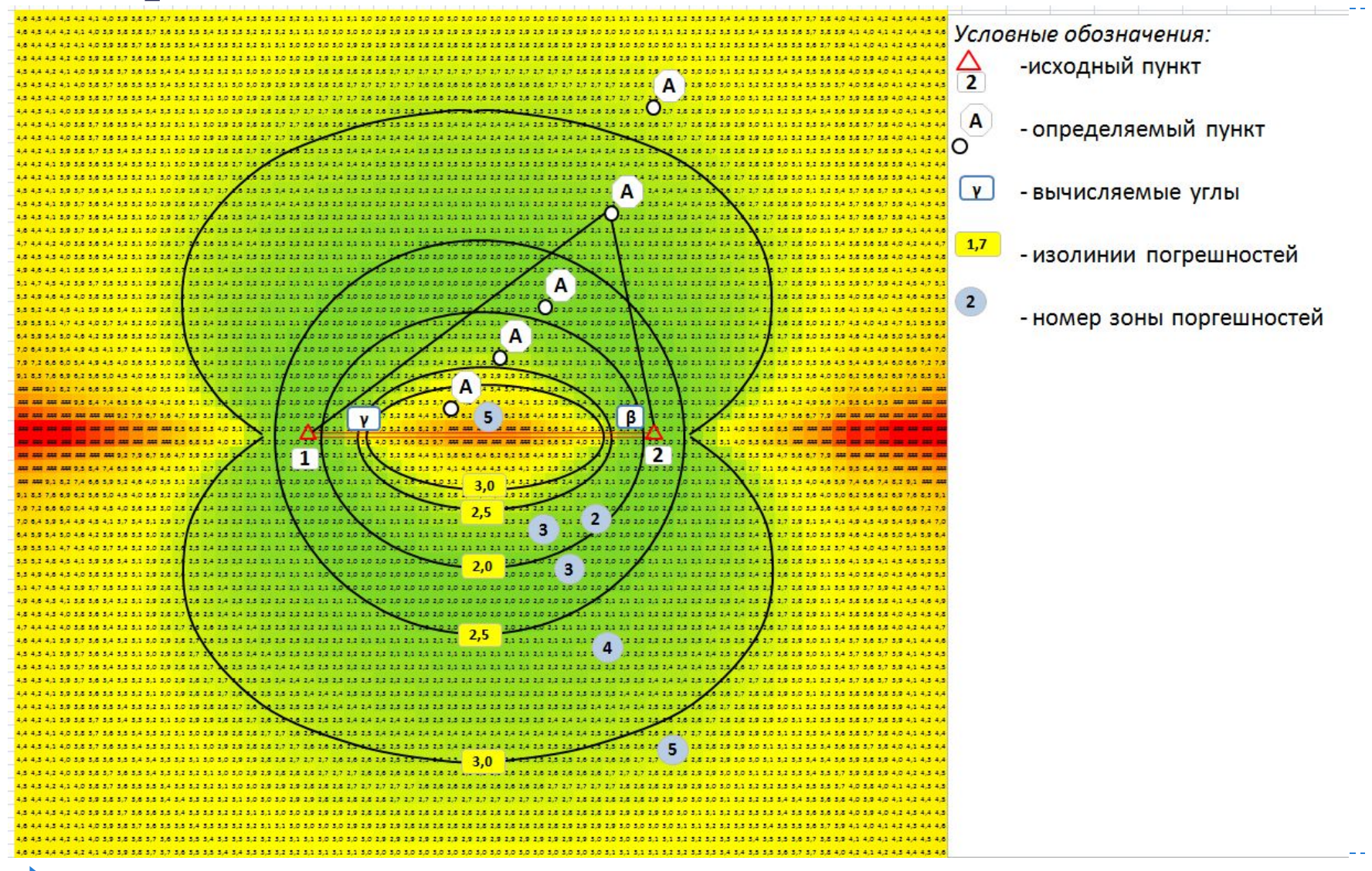
Оптимальное решение 30° ≤ γ ≤ 150°

Геометрическая интерпретация





## Картограмма распределения погрешностей линейной засечки

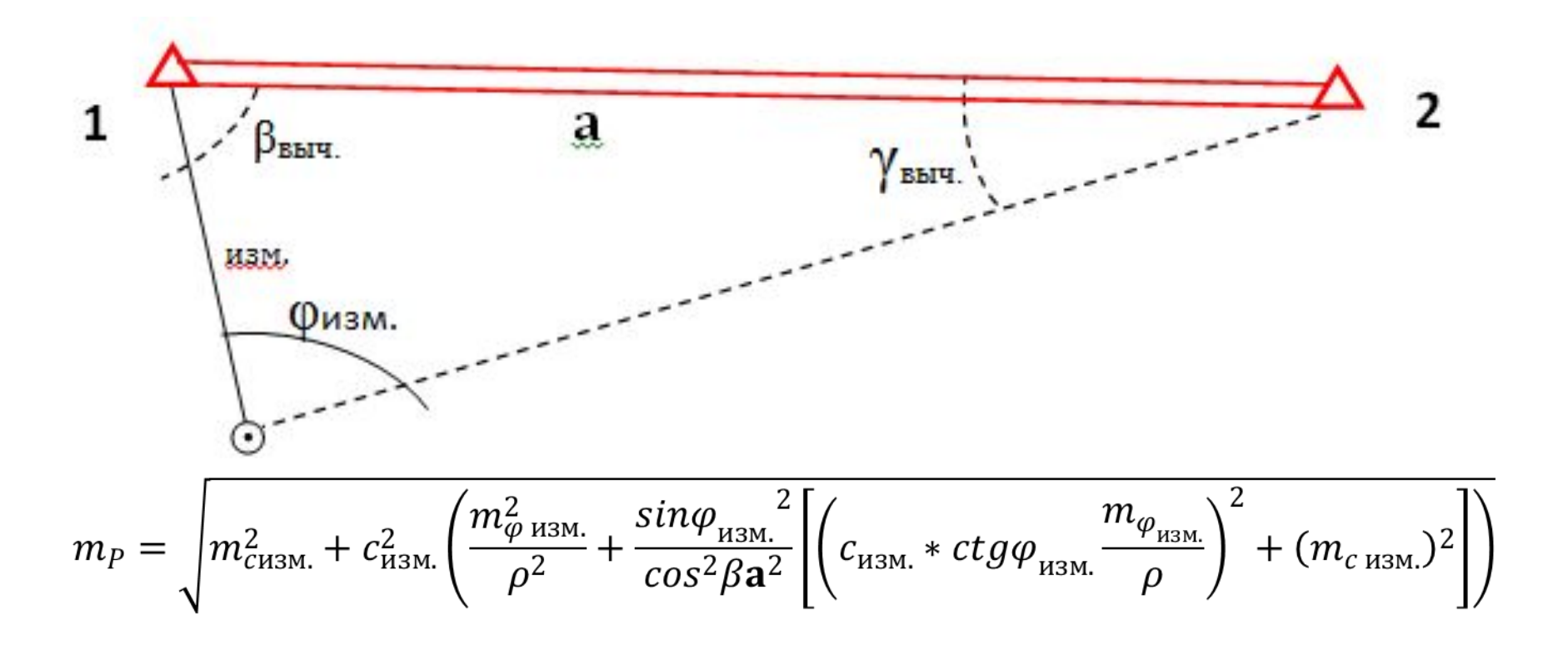




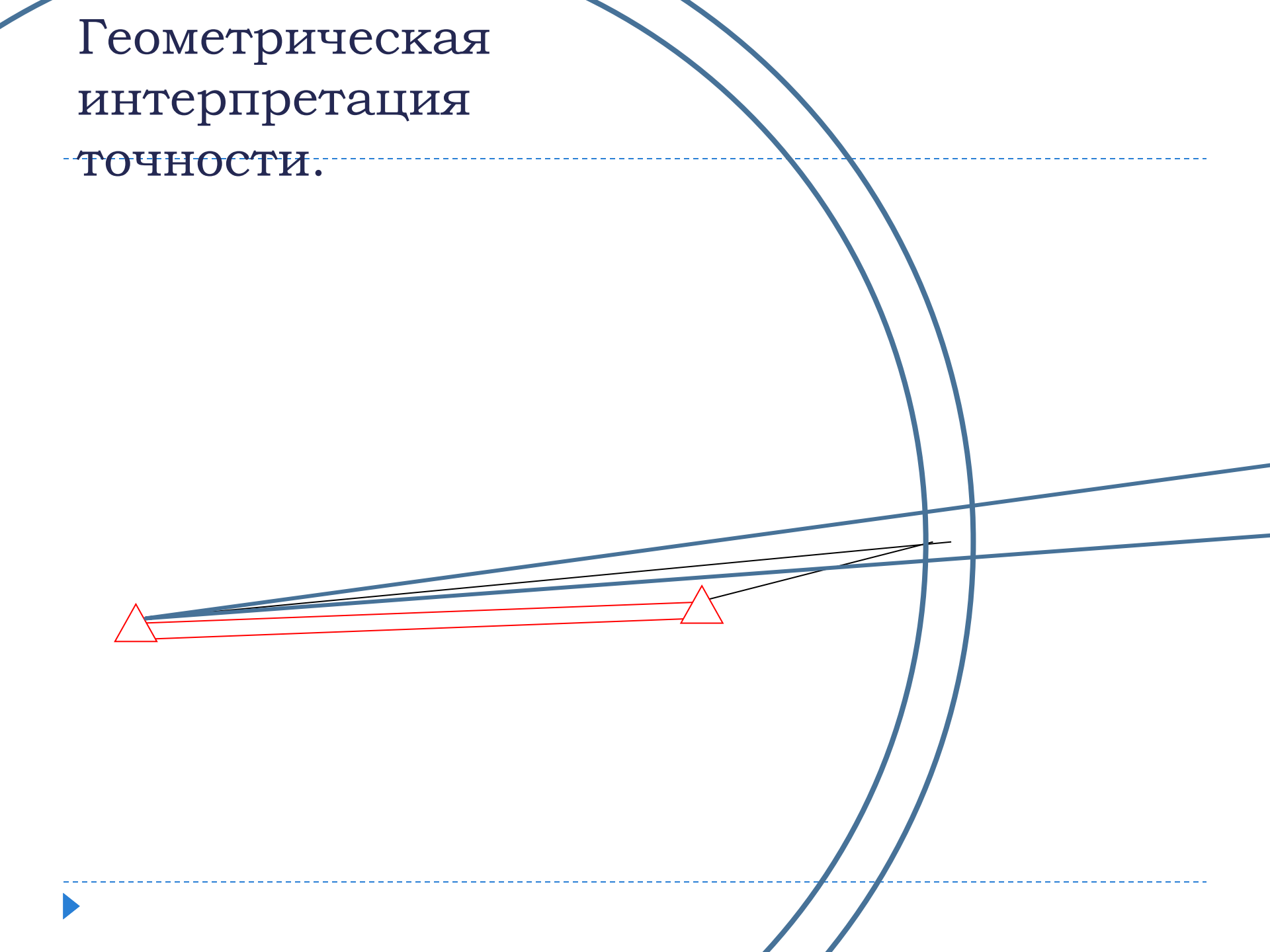
# Комбинированные обратные линейно-угловые засечки.

ОЛУ3

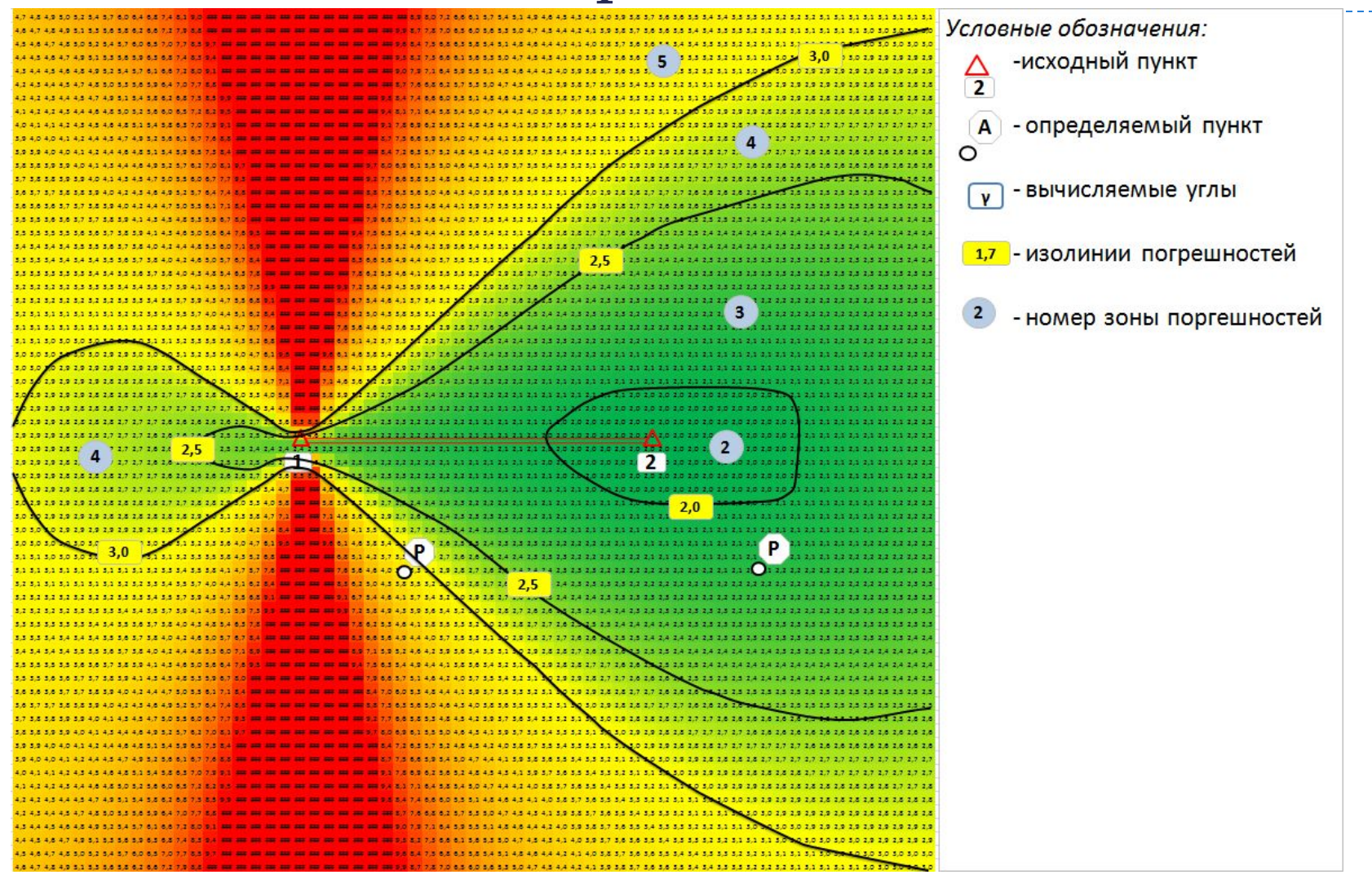
# Схема ОЛУЗ без избыточных измерений







## Распределение погрешностей ОЛУЗ без избыточных измерений



### Формула оценки точности

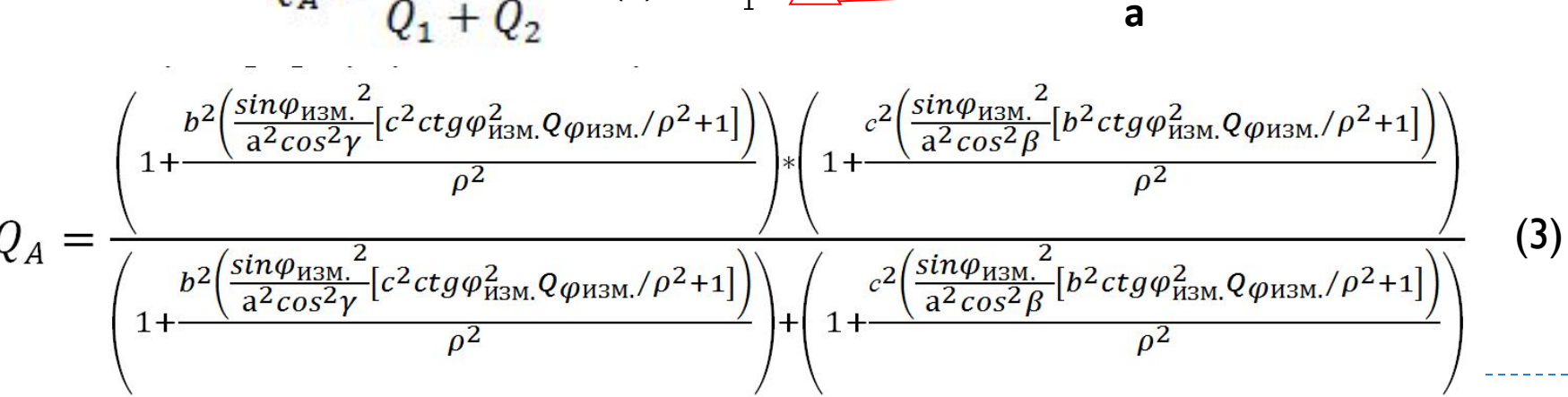
положения пункта ОЛУЗ

Обратные веса двух "полярных засечек" на рисунке обозначены символами  ${\bf Q_1}$ и  ${\bf Q_2}$  соответственно.

$$M_A = \mu \sqrt{Q_A} \tag{1}$$

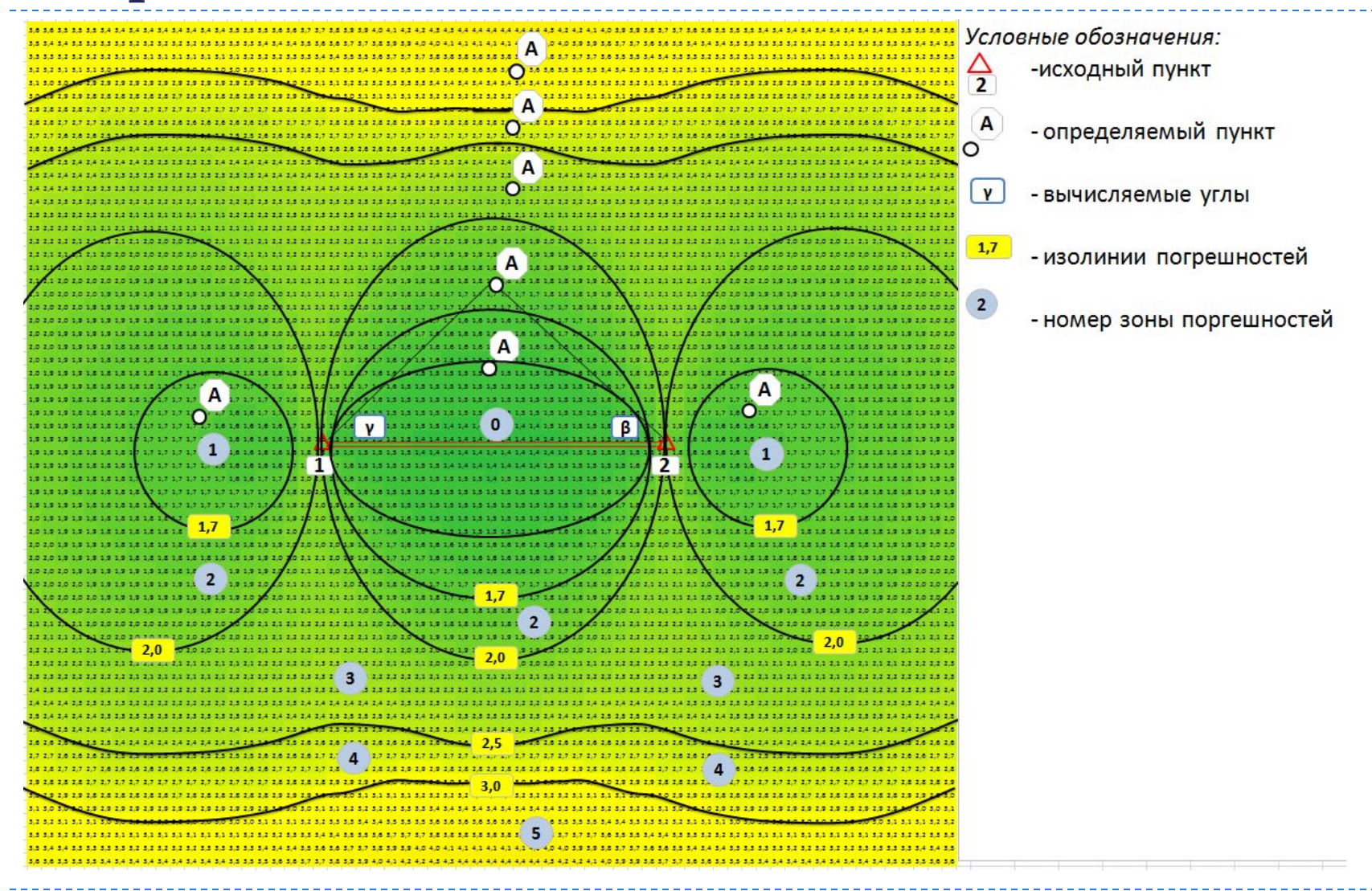
,где μ – СКП единицы веса Q<sub>A</sub> – эквивалентный обратный вес определяемого пункта, вычисляемый как:

$$Q_A = \frac{Q_1 * Q_2}{Q_1 + Q_2} \tag{2}$$

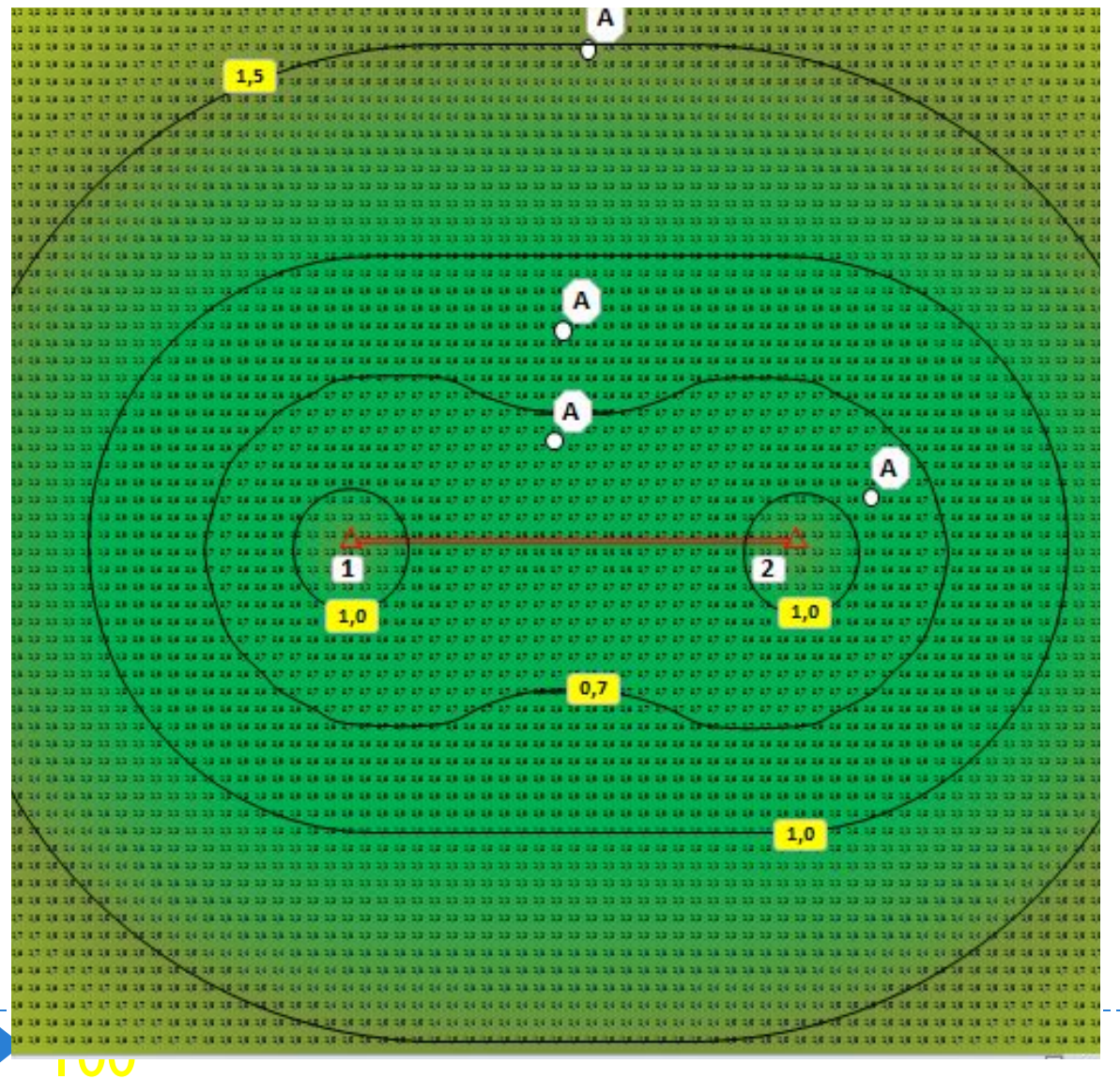


 $Q_{_{1}}$ 

### Картограмма распределения погрешностей классической ОЛУЗ



# Картограмма погрешностеи определения высоты пункта A по результатам ОЛУЗ

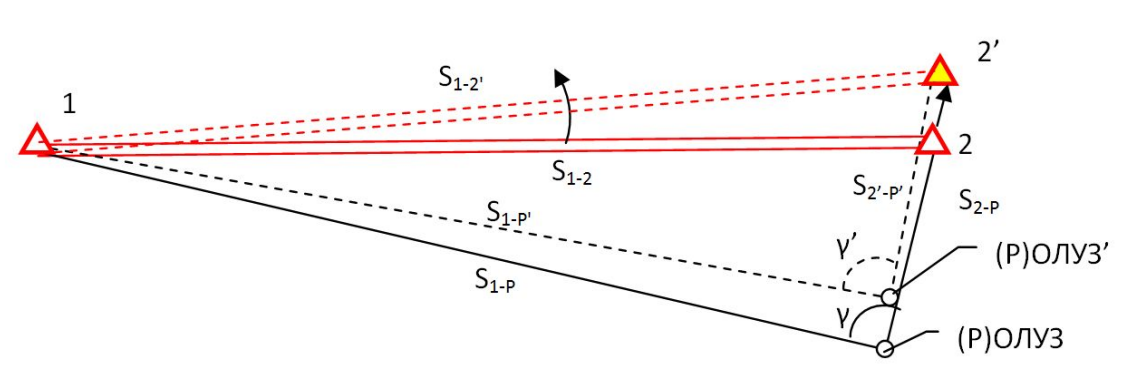


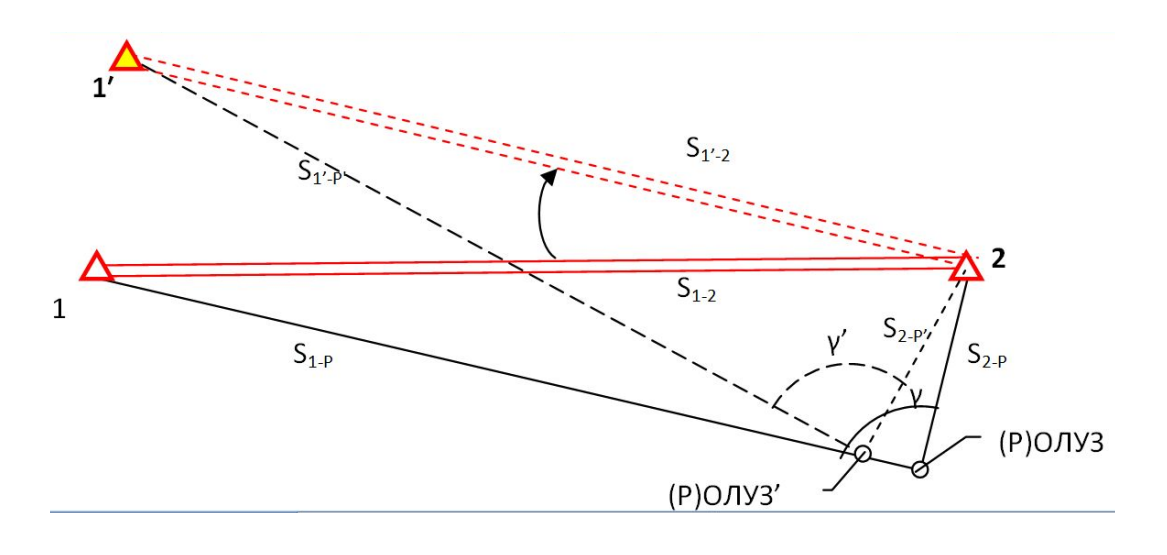
Превышении между определяемой станцией и исходным пунктом: h₁=5.000 м

n<sub>1</sub>=5.000 м h<sub>2</sub>=5.000 м.

# Причины недостоверности оценки точности засечки, производимой от двух пунктов сети

Происходит разворот системы. Реальная погрешность значительно больше расчетной.



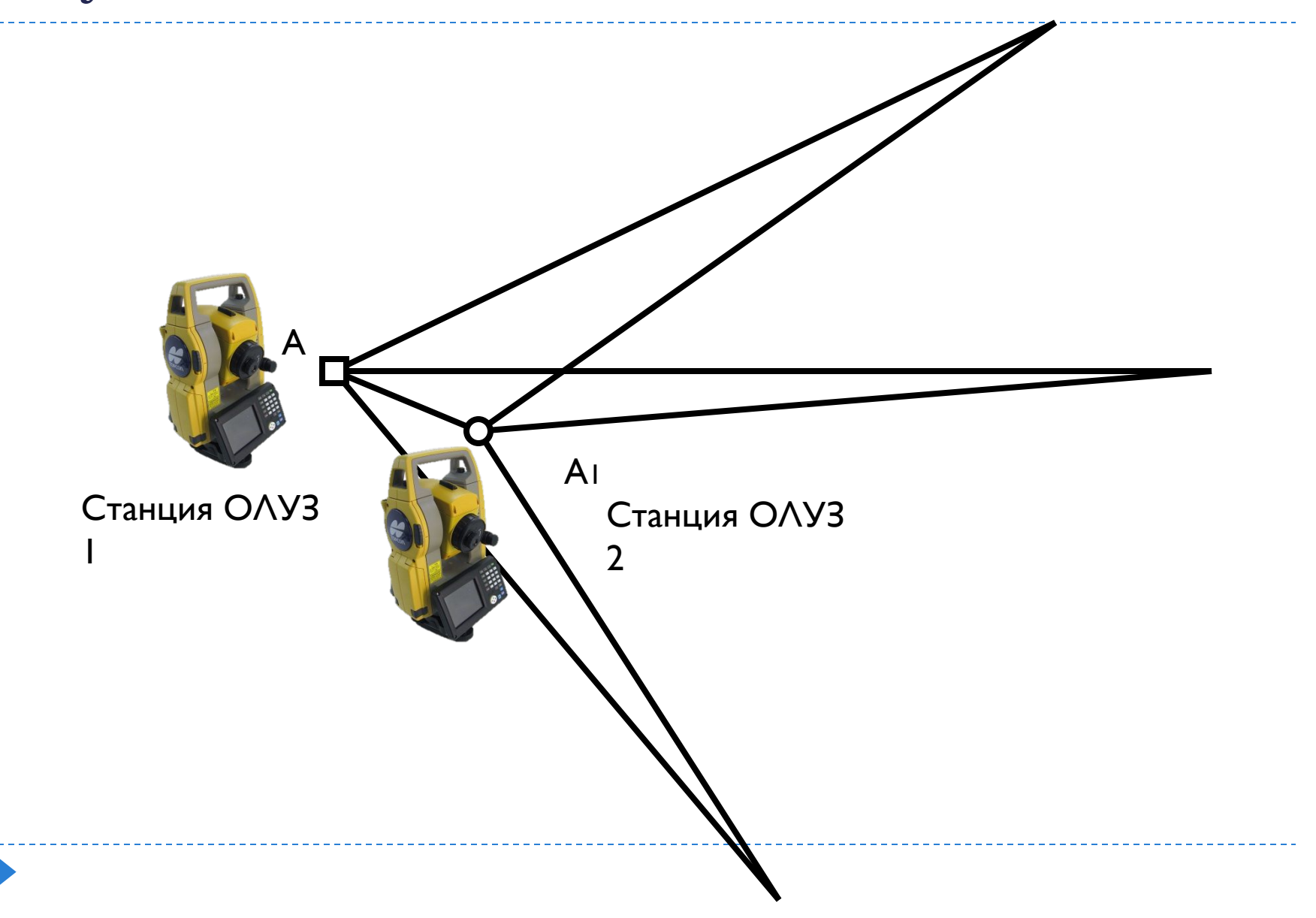


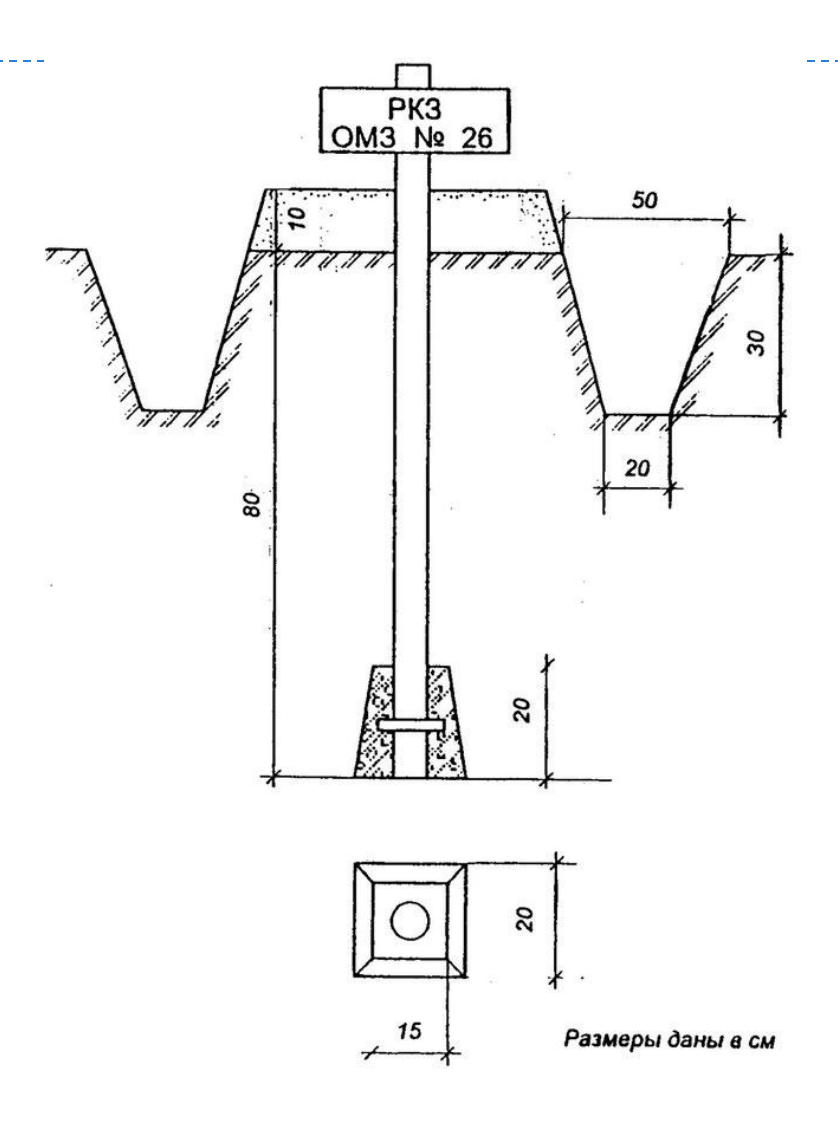
$$\gamma' = \gamma$$
 $S_{1-P} = S_{1-P'}$ 
 $S_{2-P} = S_{2-P'}$ 
 $S_{1-2} = S_{1-2'}$ 
 $\alpha = 1-2 = \alpha = 1-2'$ 



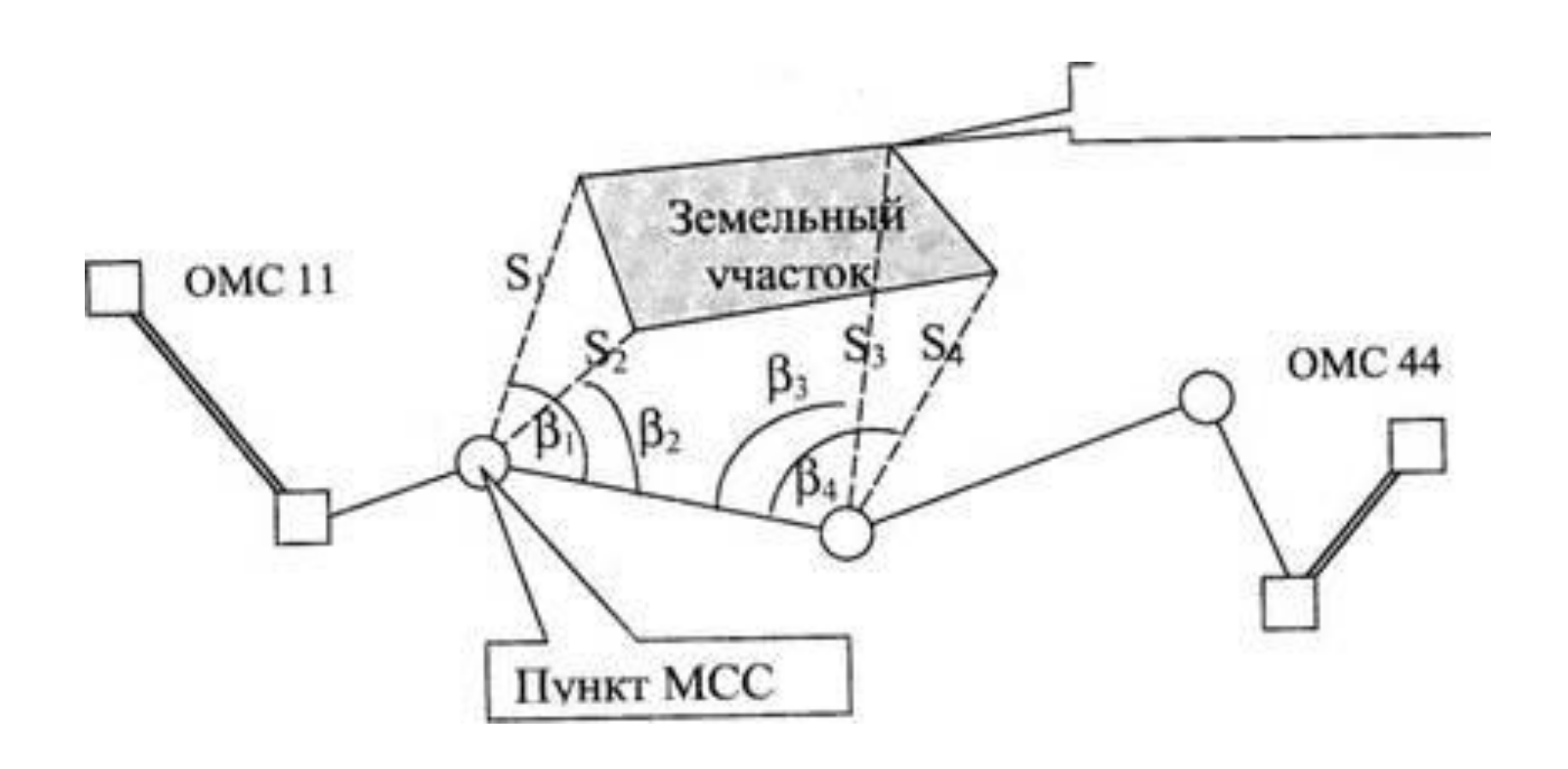
# Сгущение сети со станции ОЛУЗ

#### Лучевой метод









		Карточка закладки пункта опорной			
	Объект	п.Бол	ольшевик		
		Название (номер) пункта			181
Тип центра			A6	рис распо	ложения пункта
Тип марки			Editor Value		**************************************
Кем заложен	н	ООО "Навгеоком-Инжиниринг"	- (		
Дата заложения		26.08.05 г.	× №20		
Глубина закл	падки	0,8м	× 10020		
Размер моно	олита	0,8м	1		
(трубы)					H
Материал	металлический уголок, бетон				N925
Размер котлована 0,2м		H			
Засыпка	отсутствует				14
Присутствие	воды	нет			13
Поверхностн	ное оформлен	ние Бетонная площадка диаметром 0, 5м	4	Ha OMC №146	Ha OMC №3
Наружный зн	нак			lupa	7 <sub>10</sub> 32
Описание местоположения Пункт				ул. Мира	стр-ся
находится на	а ул. Мира, на	против д.22,	× №22	7	
в 16.8м от ог	поры ЛЭП,		* IW22		
в 11.39м от у	угла здания,				
в 4.1м от кол	понки.				

### Спасибо за Внимание!